

В рамках курса мы будем рассматривать модели переноса и диффузии субстанций (например, загрязняющих) и на их примере изучать задачи наблюдаемости и управляемости систем и такие подходы к решению задач, как использование сопряженных уравнений и регуляризация.

Содержание

1	Вывод уравнения диффузии	4
2	Постановка задачи	6
2.1	Задачи наблюдаемости	7
2.2	Минимизация функции цены	8
3	Решение задачи в простейших случаях	9
3.1	Стационарная одномерная задача с нулевым ветром	9
3.2	Стационарная одномерная задача с ненулевым ветром	10
3.3	Нестационарная одномерная задача в частных производных	10
4	Использование сопряженных уравнений	12
4.1	Одномерный случай	12
4.2	Трехмерный случай	14
4.3	Примеры применения сопряженных уравнений	16
5	Управляемость и наблюдаемость конечномерных систем.	22
5.1	Наблюдаемость	22
5.1.1	Стационарный случай	22

5.1.2	Нестационарный случай	29
5.1.3	Наличие помехи измерений	25
5.2	Управляемость	26
6	Управляемость и наблюдаемость бесконечномерных систем	29
6.1	Наблюдаемость систем с распределенными параметрами	29
6.1.1	Постановка задачи	29
6.1.2	Различные виды наблюдаемости	30
6.1.3	Исследование наблюдаемости системы с неподвижным точечным сенсором	33
6.1.4	Исследование наблюдаемости системы с неподвижным сенсором при $n > 1$	35
6.1.5	Исследование наблюдаемости систем с движущимся точечным сенсором . .	36
6.2	Управляемость систем с распределенными параметрами	38
6.2.1	Двойственность управляемости и наблюдаемости	38
6.2.2	Связь между различными видами управляемости и наблюдаемости	41
7	Идентификация параметров задачи	43
7.1	Задача идентификации источника загрязнения	43
7.1.1	Задача 1: $f(\cdot)$ задана, $Q(\cdot) — ?$	44
7.1.2	Задача 2: $Q(\cdot)$ задана, $f(\cdot) — ?$	45
7.2	Задача идентификации коэффициента атмосферной диффузии	45
8	Проблема регуляризации задачи наблюдения	47
8.1	Регуляризация на фиксированном временном промежутке	47
8.1.1	Постановка задачи и основные определения	47
8.1.2	Интерпретация регуляризатора Тихонова. Обобщенный регуляризатор . . .	50
8.1.3	Метод квазиобращения Лионса-Латтеса	52

8.1.4	Метод Гаевского-Захаряса	55
8.2	Построение динамических оценок состояния системы	57
8.2.1	Уравнения минимаксного фильтра	57
8.2.2	Задачи управления и фильтрации в бесконечномерных пространствах . . .	63
9	Прикладные задачи защиты окружающей среды	64

Пусть $c(t, x, y, z)$ — интенсивность аэрозольной субстанции, мигрирующей вместе с потоком воздуха в атмосфере. Тогда перенос субстанции вдоль траектории частиц воздуха с сохранением ее интенсивности описывается уравнением

$$\left. \frac{dc}{dt} \right|_{\mathbf{v}} = 0 \quad (1)$$

Здесь \mathbf{v} вектор скорости частиц воздуха. Раскроем производную:

$$\left. \frac{dc}{dt} \right|_{\mathbf{v}} = \frac{\partial c}{\partial t} + \frac{\partial c}{\partial x} \dot{x} + \frac{\partial c}{\partial y} \dot{y} + \frac{\partial c}{\partial z} \dot{z} = \frac{\partial c}{\partial t} + \langle \text{grad } c, \mathbf{v} \rangle = 0 \quad (2)$$

Так как для градиента произведения верна следующая формула

$$\text{div}(c\mathbf{v}) = c \text{div } \mathbf{v} + \langle \text{grad } c, \mathbf{v} \rangle, \quad (3)$$

а для нижней части атмосферы с хорошей точностью выполняется закон сохранения массы, выраженный уравнением неразрывности:

$$\frac{\partial v_x}{\partial x} + \frac{\partial v_y}{\partial y} + \frac{\partial v_z}{\partial z} = \text{div } \mathbf{v} = 0, \quad (4)$$

уравнение переноса можно переписать в виде:

$$\frac{\partial c}{\partial t} + \text{div}(c\mathbf{v}) = 0. \quad (5)$$

Уравнение (5) может быть обобщено. Если в процессе распространения часть субстанции входит в реакцию со внешней средой или распадается, то этот процесс можно интерпретировать как поглощение субстанции. В этом случае уравнение (5) перейдет в следующее:

$$\frac{\partial c}{\partial t} + \text{div}(c\mathbf{v}) + \sigma c = 0, \quad (6)$$

где коэффициент $\sigma \geq 0$ характеризует поглощение. Также если в области определения решения есть какие-либо источники рассматриваемой загрязняющей субстанции, описываемые функцией $f(t, x, y, z)$, то уравнение примет вид

$$\frac{\partial c}{\partial t} + \text{div}(c\mathbf{v}) + \sigma c = f \quad (7)$$

Например, если в области имеется точечный источник загрязнения, труба завода, расположенная на высоте H , с интенсивностью выделения субстанции $\mu(t)$, правая часть примет вид $f(t, x, y, z) = \mu(t)\delta(x - x_0)\delta(y - y_0)\delta(z - H)$.

Если положить скорость ветра равной 0, а $f(t) = f_0$, легко понять смысл коэффициента σ . В этом случае решением уравнения (7) будет функция $c(t, \cdot) = (c_0(\cdot) - f_0/\sigma)e^{-\sigma t} + f_0/\sigma$, где $c_0(\cdot)$ — начальное распределение субстанции в момент $t = 0$. Таким образом, при отсутствии ветра и равномерном загрязнении количество субстанции стремится экспоненциально со скоростью σ к величине f_0/σ , то есть к решению стационарной задачи $\sigma c = f_0$.

Известно, что такая простейшая модель не описывает основных особенностей переноса субстанции. Мы знаем, что в атмосфере даже при отсутствии ветра субстанция рассеивается в значительной окрестности от выброса. Это неудивительно, поскольку даже в безветренную погоду атмосфера является средой турбулентной, где спонтанно образуются мелкомасштабные флуктуации (обычно вихри). Необходимо модифицировать модель так, чтобы она учитывала постоянно генерируемые атмосферные флуктуации. Их математическое описание до сих пор в большинстве случаев основывается на полуэмпирических соотношениях. Рассмотрим эту теорию.

Представим концентрацию и ветер в виде суммы двух компонентов — осредненного и флуктуационного, причем первый много больше второго.

$$\begin{aligned} c &= \bar{c} + c^*, & c^* &\ll \bar{c} \\ \mathbf{v} &= \bar{\mathbf{v}} + \mathbf{v}^*, & \mathbf{v}^* &\ll \bar{\mathbf{v}} \end{aligned} \quad (8)$$

Будем проводить усреднение (то есть интегрирование) уравнения на интервале $(t, t + \theta)$, где θ выбрано таким образом, чтобы на этом интервале функции $\bar{c}, \bar{\mathbf{v}}$ менялись мало, но достаточном, чтобы

$$\bar{c}^* = \frac{1}{\theta} \int_t^{t+\theta} c^* d\tau = 0 \quad \bar{\mathbf{v}}^* = \frac{1}{\theta} \int_t^{t+\theta} \mathbf{v}^* d\tau = 0 \quad (9)$$

Итак, пусть наш процесс удовлетворяет условиям (8)-(9). Проинтегрируем уравнение (7) на интервале $(t, t + \theta)$.

$$\begin{aligned} c(t + \theta, \cdot) - c(t, \cdot) + \int_t^{t+\theta} \operatorname{div}(c\mathbf{v}) d\tau + \int_t^{t+\theta} \sigma c d\tau &= 0 \\ \bar{c}(t + \theta, \cdot) - \bar{c}(t, \cdot) + \int_t^{t+\theta} \operatorname{div}(c\mathbf{v}) d\tau + \int_t^{t+\theta} \sigma \bar{c} d\tau &= -(c^*(t + \theta, \cdot) - c^*(t, \cdot)) \end{aligned}$$

Рассмотрим отдельно интеграл от дивергенции. Так как дивергенция состоит из производных по пространственным переменным, а интегрирование ведется по времени, правомерны следующие преобразования:

$$\int_t^{t+\theta} \operatorname{div}(c\mathbf{v}) d\tau = \operatorname{div} \int_t^{t+\theta} c\mathbf{v} d\tau = \operatorname{div} \int_t^{t+\theta} (\bar{c}\bar{\mathbf{v}} + \bar{c}\mathbf{v}^* + c^*\bar{\mathbf{v}} + c^*\mathbf{v}^*) d\tau$$

В силу малого изменения c и \mathbf{v} и соотношений (9) имеем

$$\operatorname{div} \left(\int_t^{t+\theta} \overline{c} \nabla d\tau + \int_t^{t+\theta} \overline{c} \mathbf{v}^* d\tau + \int_t^{t+\theta} c^* \nabla d\tau + \int_t^{t+\theta} c^* \mathbf{v}^* d\tau \right) = \operatorname{div}(\theta \overline{c} \nabla + 0 + 0 + \int_t^{t+\theta} c^* \mathbf{v}^* d\tau)$$

Введем масштабирование основных величин. Пусть $c^* = \varepsilon c'$ где c' и \overline{c} — величины одного порядка ($\varepsilon \ll 1$). Поделим уравнение на θ .

$$\frac{\overline{c}(t+\theta, \cdot) - \overline{c}(t, \cdot)}{\theta} + \operatorname{div} \overline{c} \nabla + \frac{1}{\theta} \int_t^{t+\theta} \operatorname{div}(c^* \mathbf{v}^*) d\tau + \frac{1}{\theta} \int_t^{t+\theta} \sigma \overline{c} d\tau = -\frac{\varepsilon}{\theta} (c'(t+\theta, \cdot) - c'(t, \cdot))$$

Справа стоит величина $\varepsilon/\theta O(1)$, где $O(1)$ — величина порядка c' . Таким образом, правая часть является малой величиной порядка ε/θ и может быть отброшена. В силу малого изменения \overline{c} имеем:

$$\frac{\partial \overline{c}(t, \cdot)}{\partial t} + \operatorname{div} \overline{c} \nabla + \frac{1}{\theta} \int_t^{t+\theta} \operatorname{div}(c^* \mathbf{v}^*) d\tau + \sigma \overline{c} = 0$$

Установлено, что для атмосферных процессов возможно следующее полуэмпирическое представление компонент вектора $1/\theta \int_t^{t+\theta} c^* \mathbf{v}^*$:

$$\frac{1}{\theta} \int_t^{t+\theta} c^* v_x^* = -K_x \frac{\partial \overline{c}}{\partial x}, \quad \frac{1}{\theta} \int_t^{t+\theta} c^* v_y^* = -K_y \frac{\partial \overline{c}}{\partial y}, \quad \frac{1}{\theta} \int_t^{t+\theta} c^* v_z^* = -K_z \frac{\partial \overline{c}}{\partial z}$$

Здесь K_x , K_y и K_z — коэффициенты горизонтальной и вертикальной диффузии. Таким образом, получаем уравнение теплопроводности:

$$\frac{\partial \overline{c}(t, \cdot)}{\partial t} + \operatorname{div} \overline{c} \nabla - \frac{\partial}{\partial x} K_x \frac{\partial \overline{c}}{\partial x} - \frac{\partial}{\partial y} K_y \frac{\partial \overline{c}}{\partial y} - \frac{\partial}{\partial z} K_z \frac{\partial \overline{c}}{\partial z} + \sigma \overline{c} = 0$$

2 Постановка задачи

$$\frac{\partial \overline{c}(t, \cdot)}{\partial t} + \operatorname{div} \overline{c} \nabla - \frac{\partial}{\partial x} K_x \frac{\partial \overline{c}}{\partial x} - \frac{\partial}{\partial y} K_y \frac{\partial \overline{c}}{\partial y} - \frac{\partial}{\partial z} K_z \frac{\partial \overline{c}}{\partial z} + \sigma \overline{c} = 0 \quad (10)$$

К уравнению (10) на $c(t, x, y, z)$ необходимо добавить начальные и краевые условия. Допустим, мы рассматриваем процесс переноса субстанции в цилиндрической области (рис.1). Например, возможна следующая постановка:

$$\begin{aligned} c(t, x, y, H) &= 0 & (x, y) \in \Omega \\ c(t, x, y, 0) &= \alpha(t)\delta(x - x^0)\delta(y - y_0) & (x, y) \in \Omega \\ &(\text{или, например,} \\ &c(t, x, y, 0) = \frac{\partial c}{\partial t}(t, x, y, 0)) \\ (\text{grad } c, \mathbf{n}) &= u & (x, y) \in \partial\Omega \quad z \in (0, H) \\ c(t_0, x, y, z) &= \Psi(x, y, z) & (x, y) \in \Omega \quad z \in (0, H) \end{aligned}$$

В этом случае существует единственное классическое решение задачи.

Перечислим возможные постановки задач, которые мы будем рассматривать в рамках данного курса в связи с этим уравнением.

2.1 Задачи наблюдаемости

Наряду с уравнением (10) мы будем рассматривать уравнения наблюдения (а потом с помощью результатов наблюдения решать поставленные задачи оценивания). Наблюдения производятся с помощью операторов наблюдения \mathbf{G} с помехой $\eta(\cdot)$, доступная нам информация — множество значений $y(\cdot)$.

$$y(\cdot) = \mathbf{G}c(\cdot, \cdot) + \eta(\cdot), \quad 0 \leq t \leq T \quad (11)$$

Перечислим возможные типы **операторов наблюдения**.

1. Интегральный сенсор, или распределенное наблюдение $y(t) = \int_D g(\mathbf{x})c(t, \mathbf{x})d\mathbf{x} + \eta(t)$.
2. Точечный сенсор $y(t) = c(t, \mathbf{x}^0) + \eta(t) \quad t \in [t_1, t_2] \quad t_1 > 0$.
3. Движущийся точечный сенсор $y(t) = c(t, \mathbf{x}(\mathbf{t})) + \eta(t) \quad t \in [t_1, t_2] \quad t_1 > 0$.
4. Финальное наблюдение $y(\mathbf{x}) = c(\theta, \mathbf{x}) + \eta(\mathbf{x})$.
5. Движущийся интегральный сенсор $y(t) = \int_{O_\varepsilon(\mathbf{x}(\mathbf{t}))} g(t, \mathbf{x})c(t, \mathbf{x})d\mathbf{x} + \eta(t)$.

Задача — при заданной информации о наблюдении и ограничении на помеху, но неизвестном начальном условии $c(0, \cdot)$ оценить состояние системы в момент t_0 , то есть оценить $c(t_0, \cdot)$. В

зависимости от оператора наблюдения \mathbf{G} информационное множество функций $c(t_0, \cdot)$, совместимых с ограничением на помеху и результатами наблюдений, может получиться как ограниченным, так и неограниченным. В последнем случае для получения оценки состояния системы необходимо проводить регуляризацию задачи (так как иначе она является некорректно поставленной). Регуляризация проводится добавлением в постановку некоторого слагаемого или ограничения, помноженного на малый параметр ε , после чего исследуется поведение решения при $\varepsilon \rightarrow 0$.

Возможна также следующая задача оценивания: в области имеется несколько источников загрязнения, мы измеряем суммарное загрязнение:

$$y(t, \cdot) = \sum_{i=1}^p c_i(t, \cdot) + \eta(t, \cdot)$$

Требуется определить, насколько каждый отдельный источник загрязняет атмосферу, то есть вычислить $c_1(t, \cdot)$, $c_2(t, \cdot)$, ..., $c_p(t, \cdot)$.

2.2 Минимизация функции цены

Задача также может формулироваться как минимизация некоторого критерия при заданных ограничениях. Например, пусть правая часть уравнения (10) имеет вид $f = Q(t)\delta(x-x_0)\delta(y-y_0)\delta(z-h)$ и пусть задано одно из следующих ограничений:

1. $c(t, x^*, y^*) \leq \gamma \quad t \in [\delta, T]$
2. $\int_{\mathcal{D}} c(t, x, y) dx dy \leq \gamma \quad t \in [0, T]$
3. $\int_0^T \int_{\mathcal{D}} c(t, x, y) dx dy dt \leq \gamma$

Эти ограничения характеризуют степень загрязнения в заданной области \mathcal{D} или в заданной точке (x^*, y^*) . Она не должна превышать предельно допустимую. Однако завод, расположенный в точке (x_0, y_0, h) , должен работать с максимально возможной отдачей. Это можно сформулировать как максимизацию интеграла

$$\int_0^T Q^2(t) dt \rightarrow \max$$

3.1 Стационарная одномерная задача с нулевым ветром

Итак, мы рассматриваем уравнение диффузии

$$\frac{\partial c}{\partial t} + \operatorname{div}(\mathbf{v}c) + \sigma c = \frac{\partial}{\partial x}(K_x \frac{\partial c}{\partial x}) + \frac{\partial}{\partial y}(K_y \frac{\partial c}{\partial y}) + \frac{\partial}{\partial z}(K_z \frac{\partial c}{\partial z}) + f$$

и хотим выяснить, как выглядит его решение. Решим сперва упрощенное уравнение — стационарное, в предположении что $\mathbf{v} = 0$ и источник примеси локализован в точке x_0 :

$$\sigma c = Kc'' + Q\delta(x - x_0) \quad (12)$$

Будем искать решение, удовлетворяющее ограничению $c(x) \rightarrow 0$ при $x \rightarrow 0$. Для этого вычислим функцию Грина классическим методом (см. [6]). Будем считать что решение непрерывно дифференцируемо на полупрямых $(-\infty, x_0)$ и (x_0, ∞) и удовлетворяет на этих лучах уравнению (12) с однородной правой частью. В точке x_0 первая производная имеет разрыв 1 рода, что при дифференцировании как раз дает дельта функцию. Обозначим решение на $(-\infty, x_0)$ c_- , а на интервале (x_0, ∞) — c_+ и проинтегрируем уравнение на интервале $(x_0 - \varepsilon, x_0 + \varepsilon)$:

$$\sigma \int_{x_0 - \varepsilon}^{x_0 + \varepsilon} c(x) dx = K \left. \frac{\partial c}{\partial x} \right|_{x_0 + \varepsilon} - K \left. \frac{\partial c}{\partial x} \right|_{x_0 - \varepsilon} + Q$$

Устремив ε к 0, получаем

$$\left. \frac{\partial c_+}{\partial x} \right|_{x_0} - \left. \frac{\partial c_-}{\partial x} \right|_{x_0} = -\frac{Q}{K}$$

Таким образом, $c(x)$ непрерывна, а $\frac{\partial c}{\partial x}$ имеет разрыв высотой $\frac{Q}{K}$ в точке x_0 . Теперь вычислим c_- и c_+ . Характеристическое уравнение имеет вид: $\lambda^2 - \frac{\sigma}{K} = 0$, следовательно, его корни равны

$$\lambda_{1,2} = \pm \sqrt{\frac{\sigma}{K}}$$

Следовательно, решение представляется в виде:

$$c_{\pm}(x) = c_{\pm}^1 e^{\sqrt{\frac{\sigma}{K}}(x-x_0)} + c_{\pm}^2 e^{-\sqrt{\frac{\sigma}{K}}(x-x_0)}$$

Так как решение ограничено на бесконечности, $c_-^2 = c_+^1 = 0$.

Из непрерывности решения следует, что $c_-^2 = c_+^1$.

Скачок производной равен $-\sqrt{\frac{\sigma}{K}}c_+ - \sqrt{\frac{\sigma}{K}}c_- = -\frac{\sigma}{K}$, значит, $c = \frac{\sigma}{2\sqrt{\sigma K}}$. В результате имеем: решение равно

$$c(x) = \frac{Q}{2\sqrt{\sigma K}} e^{-\sqrt{\frac{\sigma}{K}}|x-x_0|}$$

3.2 Стационарная одномерная задача с ненулевым ветром

Рассмотрим теперь то же уравнение (12) с $v \neq 0$:

$$vc' + \sigma c - Kc'' = Q\delta(x - x_0) \quad (13)$$

Мы опять ищем решение в классе функций, убывающих на бесконечности:

$$c(x) \rightarrow 0 \quad x \rightarrow \pm\infty \quad (14)$$

После аналогичных рассуждений приходим к следующим соотношениям:

$$\begin{aligned} c_+|_{x_0} &= c_-|_{x_0}; & \frac{\partial c_+}{\partial x}|_{x_0} - \frac{\partial c_-}{\partial x}|_{x_0} &= -\frac{Q}{K} \\ \lambda^2 - \frac{v}{K}\lambda - \frac{\sigma}{K} &= 0 & \implies \lambda &= \frac{v}{2K} \pm \sqrt{\frac{v^2}{4K^2} + \frac{\sigma}{K}} \end{aligned}$$

аналогично решение представляется в виде суммы экспонент, две константы обращаются в нули, оставшиеся две равны и вычисляются из условия

$$c\left(\frac{v}{2K} - \sqrt{\frac{v^2}{4K^2} + \frac{\sigma}{K}} - \frac{v}{2K} - \sqrt{\frac{v^2}{4K^2} + \frac{\sigma}{K}}\right) = -\frac{Q}{K}$$

Отсюда имеем $c = \frac{Q}{\sqrt{v^2 + 4\sigma K}}$. Решение имеет вид

$$c(x) = \frac{Q}{\sqrt{v^2 + 4\sigma K}} e^{\frac{v}{2K}(x-x_0) - \sqrt{\frac{v^2}{4K^2} + \frac{\sigma}{K}}|x-x_0|}$$

3.3 Нестационарная одномерная задача в частных производных

Теперь решение будем обозначать символом φ . Имеем задачу Коши

$$\begin{aligned} \frac{\partial \varphi}{\partial t} + \sigma \varphi + v \frac{\partial \varphi}{\partial x} &= K \frac{\partial^2 \varphi}{\partial x^2} + f & -\infty < x < +\infty \\ \varphi(0, x) &= \varphi_0(x) \\ \varphi &\rightarrow 0 \quad x \rightarrow \pm\infty \end{aligned} \quad (15)$$

Для того, чтобы решить данное уравнение с произвольной правой частью f и начальным условием φ_0 , достаточно решить уравнение с нулевым начальным условием и правой частью в виде $\delta(x - \xi)\delta(t - \tau)$ (см. [1]). Решением этого уравнения будет функция Грина $G(x, \xi, t, \tau)$, и тогда решение уравнения (15) будет представляться в виде свертки функции Грина с правой частью и с начальным условием. Причем в силу независимости коэффициентов уравнения (15) от времени и пространственной переменной $G(x, \xi, t, \tau) = G(x - \xi, 0, t - \tau, 0)$, поэтому достаточно рассмотреть правую часть в виде $\delta(x)\delta(t)$.

Упражнение 1. Докажите это.

Итак, имеем:

$$\begin{aligned}\frac{\partial \varphi}{\partial t} + \sigma \varphi + v \frac{\partial \varphi}{\partial x} &= K \frac{\partial^2 \varphi}{\partial x^2} + \delta(x)\delta(t) & -\infty < x < +\infty \\ \varphi(0, x) &= 0 \\ \varphi \rightarrow 0 \quad x \rightarrow \pm\infty\end{aligned}$$

Применим преобразование Фурье. По определению

$$F(\varphi) = \int_{-\infty}^{\infty} e^{-i\omega x} \varphi(x) dx, \quad \text{причем выполнено} \quad F\left(\frac{\partial \varphi}{\partial x}\right) = i\omega F(\varphi) \quad F(\delta) = 1$$

Тогда после преобразования Фурье уравнение примет вид

$$\begin{aligned}\frac{\partial F}{\partial t} + \sigma F + K\omega^2 F + vi\omega F &= \delta(t) \iff \\ \frac{\partial F}{\partial t} + F(\sigma + K\omega^2 + vi\omega) &= \delta(t) \\ F|_{t=0} &= 0\end{aligned}$$

Мы пришли к обыкновенному дифференциальному уравнению относительно переменной t . Его решение записывается в виде

$$F(t) = \chi(t) e^{-(\sigma + K\omega^2 + vi\omega)t}$$

По определению обратного преобразования Фурье имеем: $\varphi(t, x) = \frac{1}{2\pi} \int_{-\infty}^{\infty} e^{i\omega x} F(t, \omega) d\omega$. Так как

$$\int_{-\infty}^{\infty} e^{-(a\omega)^2} d\omega = \frac{\sqrt{\pi}}{|a|},$$

$$\varphi = \frac{\chi(t)}{2\pi} \int_{-\infty}^{\infty} e^{-kt(\omega - \frac{vt+x}{2kt}i)^2 - \frac{(x+vt)^2}{4kt} - \sigma t} d\omega = \frac{\chi(t)}{2\pi} e^{-\frac{(x+vt)^2}{4kt} - \sigma t} \frac{\sqrt{\pi}}{\sqrt{kt}} = \frac{\chi(t)}{2\sqrt{\pi kt}} e^{-\sigma t - \frac{(x+vt)^2}{4kt}}$$

Итак, $G(x, t) = \frac{\chi(t)}{2\sqrt{\pi kt}} e^{-\sigma t - \frac{x^2}{4kt}}$, а решение представляется в виде

$$\varphi = \int_0^T \int_{-\infty}^{\infty} G(x - \xi, t - \tau) p(\xi, \tau) d\xi d\tau \quad p(\xi, \tau) = f(\xi, \tau) + \delta(t) \varphi_0(\xi)$$

4 Использование сопряженных уравнений

4.1 Одномерный случай

Допустим, теперь нам требуется для разных правых частей f вычислить функционал J от решения уравнения (15) (например, это может быть один из функционалов 1-3 из секции 2.2).

$$J = \int_{-\infty}^{\infty} \int_0^T p(t, x) \varphi(t, x) dx dt - ?$$

Как его найти? Можно решить уравнение (15) для разных правых частей, а затем проинтегрировать решение с весом p . Но можно сделать это, затратив значительно меньше вычислительных мощностей, если использовать аппарат сопряженных уравнений. Поясним, откуда появляется сопряженное уравнение. Домножим уравнение (15) на φ^* и проинтегрируем по области $(0, T) \times (-\infty, \infty)$:

$$\int_0^T \int_{-\infty}^{\infty} \frac{\partial \varphi}{\partial t} \varphi^* + \int_0^T \int_{-\infty}^{\infty} \sigma \varphi \varphi^* - K \int_0^T \int_{-\infty}^{\infty} \frac{\partial^2 \varphi}{\partial x^2} \varphi^* = \int_0^T \int_{-\infty}^{\infty} f \varphi^*$$

Применив формулы интегрирования по частям, перебрасываем производные с φ на φ^* и получаем: первое слагаемое переходит в выражение

$$\int_{-\infty}^{\infty} \varphi \varphi^* \Big|_0^T - \int_0^T \int_{-\infty}^{\infty} \varphi \frac{\partial \varphi^*}{\partial t} = \int_{-\infty}^{\infty} \varphi^*(T, x) \varphi(T, x) - \int_{-\infty}^{\infty} \varphi^*(0, x) \varphi_0(x) - \int_0^T \int_{-\infty}^{\infty} \frac{\partial \varphi^*}{\partial t} \varphi$$

Третье слагаемое переходит в выражение

$$= -K \int_0^T \frac{\partial \varphi}{\partial x} \varphi^* \Big|_{-\infty}^{\infty} + K \int_0^T \varphi \frac{\partial \varphi^*}{\partial x} \Big|_{-\infty}^{\infty} - K \int_0^T \int_{-\infty}^{\infty} \varphi \frac{\partial^2 \varphi^*}{\partial x^2}$$

теперь, приводя подобные, получаем:

$$\int_0^T \int_{-\infty}^{\infty} \varphi \left(-\frac{\partial \varphi^*}{\partial t} + \sigma \varphi^* - K \frac{\partial^2 \varphi^*}{\partial x^2} \right) + \int_{-\infty}^{\infty} \varphi^*(T, x) \varphi(T, x) - \int_{-\infty}^{\infty} \varphi^*(0, x) \varphi_0(x) = \int_0^T \int_{-\infty}^{\infty} f \varphi^*$$

$$\begin{aligned}
-\frac{\partial \varphi^*}{\partial t} + \sigma \varphi^* - K \frac{\partial^2 \varphi^*}{\partial x^2} - v \frac{\partial \varphi^*}{\partial x} &= p \quad -\infty < x < \infty \\
\varphi^*(T, x) &= 0
\end{aligned} \tag{16}$$

то с помощью решения этого уравнения φ^* функционал J можно представить в виде:

$$J = \int_{-\infty}^{\infty} \int_0^T p(t, x) \varphi(t, x) dx dt = \int_0^T \int_{-\infty}^{\infty} f \varphi^* + \int_{-\infty}^{\infty} \varphi^*(0, x) \varphi_0(x) dx$$

Сопряженная задача составляется таким образом, чтобы, зная начальные условия и правую часть, можно было легко вычислить требуемый функционал J . Как же решать сопряженное уравнение? Сделаем замену $\tau = T - t \Rightarrow$

$$\begin{aligned}
-\frac{\partial \varphi^*}{\partial \tau} + \sigma \varphi^* - K \frac{\partial^2 \varphi^*}{\partial x^2} - v \frac{\partial \varphi^*}{\partial x} &= \delta(x) \delta(\tau) \\
\varphi^*(0, x) &= 0
\end{aligned}$$

А это уравнение решать мы умеем. Мы предположили, что все интегралы сходятся и все операции правомерны.

Итак, нам была задана задача на функцию φ

$$\frac{\partial \varphi}{\partial t} + v \varphi' + \sigma \varphi = k \varphi'' + f \quad \varphi(0, x) = \varphi_0 \tag{17}$$

и необходимо было найти $\langle p, \varphi \rangle_{L_2}$, то есть мы хотели найти такие функции φ^* и ψ^* , что

$$\langle p, \varphi \rangle = \langle \varphi^*, f \rangle + \langle \psi^*, \varphi^0 \rangle$$

Составив сопряженную задачу (16), мы получили, что

$$\langle \varphi, p \rangle = \langle f, \varphi^* \rangle + \langle \varphi|_{t=0}, \varphi^*|_{t=0} \rangle$$

Пример. Рассмотрим конкретный пример. Пусть в точке x_0 расположен город, а в точке x_3 - промышленное предприятие, производящее выброс примеси в атмосферу с интенсивностью $Q(t)$. Тогда концентрация примеси в регионе будет удовлетворять уравнению (17) с $f = Q(t) \delta(x - x_3)$. Пусть необходимо, чтобы концентрация вредной аэрозоли в городе не превышала ПДК, т.е

$$J = \int_0^T \varphi(t, x_0) p(t) dt \leq \text{ПДК}.$$

Взяв в качестве p из двойственной задачи (16) $p(t)\delta(x - x_0)$, получим

$$J = \int_0^T \varphi^*(x_3, t)Q(t)dt + \int_{-\infty}^{+\infty} \varphi_0 \varphi^*(0)dx \leq \text{ПДК}.$$

Из этого уравнения несложно вычислить, какая именно концентрация $Q(t)$ удовлетворит ПДК и в то же время имеет максимальную в $L_2(0, T)$ норму.

Пример. Рассмотрим еще один пример. Для начала зададим функцию $q(x)$, которая будет характеризовать "важность" данного места. Например, в экологически более значимых и более густонаселенных областях она будет принимать большие значения. Наша задача - выяснить, при какой интенсивности выбросов $Q(t)$ интеграл $\int_{-\infty}^{\infty} \varphi(x, T)q(x)dx$ не превысит ПДК.

Получаем сопряженную задачу -

$$\begin{aligned} \frac{\partial \varphi^*}{\partial t} - v\varphi^{*'} + \sigma\varphi^* - k\varphi^{*''} &= 0 \\ \varphi^*(x, T) &= q(x), \end{aligned}$$

тогда

$$\langle \varphi(T), q \rangle = \langle \varphi_0, \varphi^*|_{t=0} \rangle + \langle f, \varphi^* \rangle$$

4.2 Трехмерный случай

Для трехмерного случая уравнение диффузии примет следующий вид:

$$\begin{aligned} \frac{\partial \varphi}{\partial t} + \text{div}(v\varphi) + \sigma\varphi &= \sum_{i=1}^3 \frac{\partial}{\partial x_i} \left(K_i \frac{\partial \varphi}{\partial x_i} \right) + f = A\varphi + f \\ \frac{\partial \varphi}{\partial n_A} + a(\xi)\varphi &= \sum K_i \frac{\partial \varphi}{\partial x_i} \cos \alpha_i + a(\xi)\varphi = u_0 \\ \varphi(0, x) &= \varphi_0 \end{aligned} \tag{18}$$

Теперь попытаемся сделать тоже самое (выписать сопряженное уравнение) для трехмерного случая.

Для этого нам понадобится формула Остроградского-Гаусса, которая выглядит следующим образом:

$$\iiint_{\Omega} \left(\frac{\partial P}{\partial x} + \frac{\partial Q}{\partial y} + \frac{\partial R}{\partial z} \right) d\Omega = \iint_S (P \cos x + Q \cos y + R \cos z) dS$$

Итак, домножим (18) на φ^* , проинтегрируем по пространству и времени и будем с помощью интегрирования по частям перебрасывать производные на φ^*

$$\begin{aligned} & \overbrace{\int_0^T \int_{\Omega} \frac{\partial \varphi}{\partial t} \varphi^* dt d\Omega}^{(1)} + \overbrace{\int_0^T \int_{\Omega} \operatorname{div}(\vec{v}\varphi) \varphi^* dt d\Omega}^{(2)} + \overbrace{\int_0^T \int_{\Omega} \sigma \varphi \varphi^* dt d\Omega}^{(3)} = \\ & = \underbrace{\int_0^T \int_{\Omega} \sum \frac{\partial}{\partial x_i} \left(K_i \frac{\partial \varphi}{\partial x_i} \right) \varphi^* dt d\Omega}_{(4)} + \underbrace{\int_0^T \int_{\Omega} f \varphi^* dt d\Omega}_{(5)} \end{aligned}$$

Рассмотрим преобразования каждого из слагаемых:

$$(1) = \int \varphi \varphi^* d\Omega \Big|_0^T - \int_0^T \int_{\Omega} \varphi \frac{\partial \varphi^*}{\partial t} d\Omega$$

Так как $\operatorname{div} \vec{v} = 0$, $\varphi^* \operatorname{div}(\vec{v}\varphi) = \operatorname{div}(\varphi^* \vec{v}\varphi) - \varphi \operatorname{div}(\varphi^* \vec{v})$ и

$$\begin{aligned} (2) &= \int_0^T \iint_S \sum v_i \varphi \varphi^* \cos \alpha_i - \int_0^T \int_{\Omega} \varphi \operatorname{div}(\varphi^* \vec{v}) d\Omega dt, \\ (4) &= \int_0^T \int_{\Omega} \sum \frac{\partial}{\partial x_i} \left(K_i \frac{\partial \varphi}{\partial x_i} \varphi^* \right) dt d\Omega - \int_0^T \int_{\Omega} K_i \frac{\partial \varphi}{\partial x_i} \frac{\partial \varphi^*}{\partial x_i} dt d\Omega = \\ &= \int_0^T \iint_S \sum K_i \frac{\partial \varphi}{\partial x_i} \varphi^* \cos \alpha_i dS dt - \int_0^T \int_{\Omega} \sum K_i \frac{\partial}{\partial x_i} \left(\varphi \frac{\partial \varphi^*}{\partial x_i} \right) dt d\Omega + \int_0^T \int_{\Omega} \sum K_i \varphi \frac{\partial^2 \varphi^*}{\partial x_i^2} dt d\Omega = \\ &= \left\{ \sum K_i \frac{\partial \varphi}{\partial x_i} \cos \alpha_i + a(\xi) \varphi = u_0 \text{ (краевое условие), } K_i \text{ не зависят от } x \right\} = \\ &= \int_0^T \iint_S \varphi^* (u_0 - a(\xi) \varphi) dS dt - \int_0^T \iint_S \sum K_i \varphi \frac{\partial \varphi^*}{\partial x_i} \cos \alpha_i dt dS + \int_0^T \int_{\Omega} \sum K_i \varphi \frac{\partial^2 \varphi^*}{\partial x_i^2} dt d\Omega = \\ &= \int_0^T \iint_S \varphi^* u_0 dS dt - \int_0^T \iint_S \varphi \left[a(\xi) \varphi^* + \sum K_i \frac{\partial \varphi^*}{\partial x_i} \cos \alpha_i \right] dS dt + \int_0^T \int_{\Omega} \sum K_i \varphi \frac{\partial^2 \varphi^*}{\partial x_i^2} dt d\Omega. \end{aligned}$$

Тогда исходное выражение запишется в следующем виде:

$$\begin{aligned} & \int_0^T \int_{\Omega} \varphi \left[-\frac{\partial \varphi^*}{\partial t} - \operatorname{div}(\vec{v}\varphi^*) + \sigma \varphi^* - \sum K_i \frac{\partial^2 \varphi^*}{\partial x_i^2} \right] dt d\Omega + \\ & + \int_0^T \iint_S \varphi \left[\sum K_i \frac{\partial \varphi^*}{\partial x_i} \cos \alpha_i + a(\xi) \varphi^* + \sum v_i \cos \alpha_i \varphi^* \right] ds dt - \int_0^T \iint_S \varphi^* u_0 dS dt + \\ & + \int_{\Omega} \varphi^* \varphi|_{t=T} d\Omega - \int_{\Omega} \varphi^* \varphi|_{t=0} d\Omega = \int_0^T \int_{\Omega} f \varphi^* dt d\Omega \end{aligned}$$

Таким образом, если мы желаем вычислить, чему равно

$$J = \langle p, \varphi \rangle + \langle q, \varphi|_{\partial\Omega} \rangle + \langle r, \varphi|_{t=T} \rangle$$

то мы можем это сделать с помощью двойственной задачи.

Упражнение 2. Записать двойственную задачу.

4.3 Примеры применения сопряженных уравнений

В предыдущей части мы установили, что функционал от решения задачи можно выразить с помощью функционала от решения сопряженного уравнения:

$$J = \int_0^T \int_{\Omega} q(t, x) \varphi(t, x) dx dt = \int_0^T \int_{\Omega} \varphi^*(t, x) f(t, x) dx dt.$$

Рассмотрим конкретные примеры применения сопряженных уравнений.

Пример 1. Пусть у нас несколько источников разных примесей в точках $x_i^* \in \Omega \subset R^m$, $i = 1, ..n$, пропорциональной интенсивности $\gamma_i \cdot Q(t)$. В точке x_0 находится город, концентрации примесей в котором не должны превышать предельно допустимые величины Π_i :

$$J_i = \int_0^T \varphi_i(x_0, t) dt \leq \Pi_i. \quad (19)$$

Концентрация i -ой примеси в точке x в момент t равна $\varphi_i(x, t)$ и изменяется в соответствии с уравнением

$$\begin{aligned} \frac{\partial \varphi_i}{\partial t} - \sigma_i \varphi_i + \operatorname{div}(\vec{v} \varphi_i) - \sum_{j=1}^m \frac{\partial}{\partial x_j} K_i^j \cdot \frac{\partial \varphi_i}{\partial x_j} &= \delta(x - x_i^*) Q(t) \gamma_i \quad x \in \Omega \quad t \in [0, T] \\ \varphi_i|_{\partial\Omega} &= 0 \quad \varphi_i(x, 0) = 0 \end{aligned} \quad (20)$$

Допустим, что мэрия города выбирает некий коэффициент μ , ограничивающий выбросы всех этих промышленных предприятий:

$$\int_0^T Q^2(t) dt \leq \mu^2 \quad (21)$$

Мэрия хочет вычислить максимальный коэффициент μ , такой, который обеспечил бы выполнение всех ПДК в условиях (19):

$$\forall Q(t) : \int_0^T Q^2(t) dt \leq \mu^2 \Rightarrow J_i \leq \Pi_i. \quad (22)$$

Задача состоит в нахождении μ . Будем действовать в соответствии с разработанным нами аппаратом сопряженных уравнений. Если $\varphi_i^*(x, t)$ — решения сопряженных к (20) задач, то функционалы (19) представляются в виде

$$J_i = \int_0^T \varphi_i(x_0, t) dt = \int_0^T Q(t) \varphi_i^*(x_i^*, t) \gamma_i dt \leq \Pi_i. \quad (23)$$

Обозначая за $\mathbf{\Pi} = \{\Pi_1, \dots, \Pi_n\}$, $\mathbf{h} = \{\varphi_1^*(x_1^*, t) \gamma_1, \dots, \varphi_1^*(x_1^*, t) \gamma_n\}$ получим следующее векторное неравенство:

$$\int_0^T Q(t) \mathbf{h} dt \leq \mathbf{\Pi}.$$

Домножив обе части неравенства на вектор l из положительного октанта R_+^n , получим, что должно выполняться следующее неравенство

$$\int_0^T Q(t) \langle \mathbf{h}, l \rangle dt \leq \langle \mathbf{\Pi}, l \rangle, \quad \forall l \in R_+^n. \quad (24)$$

Левую часть неравенства можно оценить следующим образом:

$$\int_0^T Q(t) \langle \mathbf{h}, l \rangle dt \leq \sqrt{\int_0^T Q^2(t) dt} \cdot \sqrt{\int_0^T \langle \mathbf{h}, l \rangle^2 dt} \leq \mu \cdot \sqrt{\int_0^T \langle \mathbf{h}, l \rangle^2 dt}.$$

Теперь потребуем выполнения (24):

$$\mu \cdot \sqrt{\int_0^T \langle \mathbf{h}, l \rangle^2 dt} \leq \langle \mathbf{\Pi}, l \rangle.$$

Отсюда

$$\mu \leq \frac{\langle \mathbf{\Pi}, l \rangle}{\sqrt{\int_0^T \langle \mathbf{h}, l \rangle^2 dt}} \quad \forall l \in R_+^n.$$

Следовательно, мэррия может выбрать коэффициент следующим образом:

$$\mu = \min_{l \in R_+^n} \frac{\langle \Pi, l \rangle}{\sqrt{\int_0^T \langle h, l \rangle^2 dt}}.$$

Упражнение 3. Доказать, что минимум достигается.

Упражнение 4.* Рассмотреть случай, когда интенсивности заводов $Q_i(t)$ — произвольные различные функции, удовлетворяющие (21).

Упражнение 5.* Будет ли найденное нами μ оптимальным (может быть, выгоднее взять максимальное μ , обеспечивающее выполнение условий (23))? А что будет для различных $Q_i(t)$?

Пример 2. Одномерный случай. В этом примере рассмотрим один завод в точке x_0 и город в точке $x = 0$. Допустим, что концентрация примеси не зависит от времени и равна $c(x|x_0)$. В этом случае она удовлетворяет системе (13)-(14). Требуется минимизировать расстояние от города до завода

$$|x_0| \rightarrow \min$$

при условии ограничений загрязнения в городе

$$c(0|x_0) \leq \gamma.$$

Мы знаем (см. параграф 3.2), что

$$c(x|x_0) = \frac{Q}{\sqrt{v^2 + 4\sigma K}} \exp \left\{ \frac{v}{2K}(x - x_0) - \sqrt{\frac{v^2}{4K^2} + \frac{\sigma}{K}} \cdot |x - x_0| \right\}$$

тогда

$$c(0, x_0) = \frac{Q}{\beta} \cdot \exp \left\{ -\frac{v}{2K}(x_0) - \sqrt{\frac{v^2}{4K^2} + \frac{\sigma}{K}} \cdot |x_0| \right\},$$

где $\beta = \sqrt{v^2 + 4\sigma K}$.

Если $x_0 > 0$, то имеем $\frac{Q}{2K}e^{-\alpha x_0} \leq \gamma$, где $\alpha = \frac{v}{2K} + \sqrt{\frac{v^2}{4K^2} + \frac{\sigma}{K}} > 0$.

Если $x_0 < 0$, то имеем $\frac{Q}{2K}e^{-\alpha x_0} \leq \gamma$, где $\alpha = \frac{v}{2K} - \sqrt{\frac{v^2}{4K^2} + \frac{\sigma}{K}} < 0$.

Тогда, разобрав для каждого направления ветра эти 2 случая расположения завода и сравнив модули оптимальных значений x_0 , получаем:

1. $v > 0 \implies x_0 \geq \frac{1}{\alpha} \ln \frac{\beta}{Q}$
2. $v < 0 \implies x_0 \leq \frac{1}{\alpha} \ln \frac{\beta\gamma}{Q}$

Упражнение 6. Рассмотрите самостоятельно случай, когда в рассматриваемом регионе возможно 2 типичических метеорологических ситуации с $v = v_1 > 0$ и $v = v_2 < 0$. Где выгодно расположить завод в этом случае?

Пример 3. Модифицируем предыдущий пример, рассмотрев уже не один, а n заводов x_1^*, \dots, x_n^* , осуществляющих выбросы одной и той же вредной примеси. Концентрация примеси, соответствующая вкладу i -го завода, является решением соответствующей стационарной задачи и равна

$$c(0|x_i^*) = \frac{Q}{\beta} \cdot \exp \left\{ -\frac{v}{2K}(x_i^*) - \sqrt{\frac{v^2}{4K^2} + \frac{\sigma}{K}} \cdot |x_i^*| \right\}.$$

Пусть нам требуется свести к минимуму затраты по постройке дорог до заводов и перевозкам людей и материалов при условии, что концентрация примеси в городе не превышает предельно допустимую:

$$\begin{cases} \sum_{i=1}^n a_i |x_i^*| \rightarrow \min \\ \sum_{i=1}^n c_i(0|x_i^*) \leq \gamma \end{cases}$$

Здесь весовые коэффициенты a_i отражают материальные затраты на организацию транспортного сообщения, а ПДК = γ .

Можно указать три возможных пути решения этой задачи:



Упражнение 7. *Покажите, что путь II действительно ведет к задаче линейного программирования.*

С точки зрения нашего курса нам наиболее интересен третий путь. Итак, формулируем задачу следующим образом:

$$\begin{cases} \sum_{i=1}^n \tilde{a}_i x_i^* \rightarrow \min \\ \sum_{i=1}^n c_i(0|x_i^*) \leq \gamma \end{cases} \quad (25)$$

Здесь \tilde{a}_i — коэффициенты a_i , возможно, помноженные на -1 . Перебрав все возможные комбинации знаков a_i , мы рассмотрим все ситуации расположения промышленных предприятий.

Упражнение 8. *Доказать, что в задаче (25) ограничение обеспечивает существование конечного минимума.*

С помощью метода Лагранжа сведем задачу (25) к задаче на безусловный экстремум

$$\sum_{i=1}^n \tilde{a}_i x_i^* + \lambda \cdot \left[\sum_{i=1}^n \frac{Q_i}{\beta} e^{-\alpha_i x_i^*} - \gamma \right] \rightarrow \text{extr}$$

Замечание. Коэффициенты α_i могут иметь разный знак в зависимости от расположения соответствующих x_i^* , поэтому индекс i убирать нельзя.

После дифференцирования имеем:

$$\tilde{a}_i - \lambda \frac{Q_i}{\beta} \alpha_i \cdot e^{-\alpha_i x_i^*} = 0 \implies x_i^* = \frac{1}{\alpha_i} \cdot \ln \frac{Q_i \lambda \alpha_i}{\tilde{a}_i \beta}$$

$$\frac{1}{\lambda} \sum \frac{\tilde{a}_i}{\alpha_i} - \gamma = 0 \implies \lambda = \frac{\sum \frac{\tilde{a}_i}{\alpha_i}}{\gamma}$$

Итак, имеем: $x_i^* = \frac{1}{\alpha_i} \cdot \ln \frac{Q_i \sum_{j=1}^n \frac{\tilde{a}_j}{\alpha_j}}{\frac{\tilde{a}_i}{\alpha_i} \beta \gamma}.$

Перебрав все возможные комбинации знаков a_i и рассмотрев стандартные метеорологические ситуации, получаем оптимальное расположение заводов.

Упражнение 9. Минимум ли функционала мы нашли?

Пример 4. Допустим, что имеются некие “зеленые зоны” (заповедники, национальные парки, населенные пункты и т.д.) $D_1, \dots, D_n \subset \Omega$, в которых правительство решило ограничить концентрацию загрязняющей субстанции, выбрасываемой заводом, расположенным в точке $x^0 \in \Omega$:

$$J_i = \int_{D_i} c(x|x^0) p_i(x) dx \leq \Pi_i \quad i = 1..n. \quad (26)$$

Здесь $p_i(x)$ — весовые функции.

Требуется определить зону, в которой можно расположить промышленное предприятие с соблюдением ограничений (26). Введем следующие обозначения:

$$X_i^0 = \{x^0 | J_i(x^0) \leq \Pi_i\}.$$

Если мы хотим также, чтобы завод был расположен не далее чем на расстоянии r от точки $a \in \Omega$, искомая область есть

$$\{x^0\} = \bigcap_i X_i^0 \cap O_r(a)$$

Иногда требуется найти точку, целая окрестность которой расположена в допустимой области:

$$\{x^0\} = \left\{ x^0 \left| O_\varepsilon(x^0) \subset \bigcap_i X_i^0 \cap O_r(a) \right. \right\}.$$

Возможна также следующая постановка: поиск расположения завода, оптимального с точки зрения минимизации некоторого критерия, например:

$$\int_0^T (Q(t) - Q^*)^2 dt \rightarrow \min.$$

Пример 5. Пусть теперь у нас на плоскости расположены n заводов в точках $x_1^*, \dots, x_n^* \in R^2$, каждый из которых произвел ровно один выброс загрязняющей субстанции. Пусть эти загрязняющие субстанции различны. Источник загрязнения, соответствующий i -му заводу и i -ой примеси, имеет вид $\delta(t)\delta(x - x_i^*)Q_i$. Допустим, имеется постоянный ветер \vec{v} . Тогда линии уровня концентрации i -ой примеси описываются следующим уравнением:

$$e^{-\frac{(x-v_1t)^2}{4K_1t} - \frac{(y-v_2t)^2}{4K_2t} - \sigma t} = \nu(t).$$

Это - эллипсоиды на плоскости R^2 .

Упражнение 10. *Расширяются ли эти эллипсоиды со временем или сужаются?*

Упражнение 11. *Выпишите самостоятельно матрицу, соответствующую подобному эллипсоиду, и его центр.*

Если потребовать, чтобы в городе (то есть в точке x^0) концентрация каждой из примесей не превышала некоторой константы Π_i , то мы получим, что x^0 должен лежать в дополнениях до двумерных эллипсоидов. Обозначим эти эллипсоиды с центрами в точках $p_i(t)$ и матрицами $P_i(t)$ через $\mathcal{E}(p_i(t), P_i(t))$. Тогда множество допустимых значений точки x^0 есть

$$\{x^0\} = \bigcap_{i=1}^n \mathcal{E}_i^C(p_i(t), P_i(t)).$$

5 Управляемость и наблюдаемость конечномерных систем.

5.1 Наблюдаемость

5.1.1 Стационарный случай

Рассмотрим следующую линейную дифференциальную систему

$$\begin{cases} \frac{dx}{dt} = P(t)x, & t \in [t_0, t_1] \\ x(t_0) = x_0 & x_0 \in R^n \end{cases} \quad \text{— неизвестно} \quad (27)$$

Наряду с ней рассмотрим уравнение наблюдения

$$y(t) = G(t)x(t) \quad t \in [t_0, t_1] \quad \text{— наблюдение.} \quad (28)$$

Здесь в каждый момент времени t $x(t) \in R^n$, $P(t) \in R^{m \times n}$, $y(t) \in R^m$, $G(t) \in R^{m \times n}$, а матрица $P(t)$ такова, что выполнены условия существования, единственности и продолжаемости решения.

Определение. Система (27)-(28) вполне наблюдаема, если, как бы не реализовалось наблюдение y , по нему можно однозначно определить x_0 :

$$y \mapsto !x_0$$

Или, другими словами, если для $y(\cdot)$ существует такое $x_0 \in R^n$, что порожденное им в силу системы (27) решение удовлетворяет уравнению наблюдения (28), то такое x_0 единственно.

Теорема 5.1. Пусть $P(t) \equiv P$, $G(t) \equiv G$. Система (27)-(28) вполне наблюдаема тогда и только тогда, когда ранг матрицы

$$\text{rang} \begin{bmatrix} G \\ GP \\ \dots \\ GP^{n-1} \end{bmatrix} = n \quad (29)$$

Доказательство. Рассмотрим фундаментальную систему решений. Для этого рассмотрим n линейно независимых решений системы (27) — $x_1(t), \dots, x_n(t)$ и обозначим $z(t) = [x_1(t), \dots, x_n(t)]$. В этом случае ФСР системы (27) равна

$$\Phi(t, t_0) = z^{-1}(t_0)z(t)$$

а в стационарном случае при $P(t) \equiv P$ функция Φ зависит лишь от разности переменных t и t_0 :

$$\Phi(t, t_0) = \hat{\Phi}(t - t_0)$$

Отсюда

$$x(t) = \hat{\Phi}(t - t_0)x_0 + \int_{t_0}^t \hat{\Phi}(t - \tau)f(\tau)d\tau \quad (30)$$

Тогда, подставив выражение (30) в уравнение наблюдения (28), получим $y(t) = G\hat{\Phi}(t - t_0)x_0$. Продифференцировав несколько раз это выражение, имеем:

$$\begin{pmatrix} y(t) \\ y'(t) \\ \dots \\ y^{n-1}(t) \end{pmatrix} = \begin{pmatrix} G \\ GP \\ \dots \\ GP^{n-1} \end{pmatrix} \hat{\Phi}(t - t_0)x_0 \quad (31)$$

Достаточность. Если система не вполне наблюдаема, то существуют два различных начальных условия x_0^1, x_0^2 , отвечающих одному y . Следовательно, их разность $x_0^1 - x_0^2$ отвечает нулевому

наблюдению. Рассмотрим (31) при $t = t_0$. Однородная система имеет нетривиальное решение, следовательно, ранг матрицы меньше n , ч.т.д..

Необходимость. Рассмотрим (31) при $t = t_0$. Пусть ранг матрицы меньше n , тогда однородная система имеет нетривиальное решение x_0 . Следовательно,

$$x_0 \in \text{Ker } G, \quad Px_0 \in \text{Ker } G, \dots, \quad P^{n-1}x_0 \in \text{Ker } G$$

Докажем, что $\hat{\Phi}(t - t_0)x_0 \in \text{Ker } G$. Для этого покажем, что

$$P^k x_0 \in \text{Ker } G \quad \forall k \in N \quad (32)$$

Пусть l — такое число, что система $x_0, \dots, P^{l-1}x_0$ — линейно независима, а $x_0, \dots, P^l x_0$ — линейно зависима. В силу конечной размерности пространства l существует и не превосходит n . Тогда

$$P^l x_0 = \sum_{i=0}^{l-1} c_i \cdot P^i x_0 \in \text{Ker } G \implies$$

$$P^{l+1}x_0 = P \sum_{i=0}^{l-2} c_i \cdot P^i x_0 + P \cdot c_{l-1} \cdot P^{l-1}x_0 = \sum_{i=0}^{l-2} c_i P^{i+1}x_0 + \sum_{i=0}^{l-1} c_{l-1} c_i P^i x_0$$

Таким образом, имеем:

$$P^{l+1}x_0 = \sum_{i=0}^{l-1} \gamma_i P^i x_0 \in \text{Ker } G$$

Аналогично по индукции легко доказать, что (32) верно. Из (30) получаем, что

$$\hat{\Phi}(t - t_0)x_0 = e^{P(t-t_0)}x_0 = \sum_{i=0}^{\infty} P^i \frac{(t - t_0)^i}{i!} x_0 \in \text{Ker } G$$

Отсюда $y(t) = G\hat{\Phi}(t - t_0)x_0 \equiv 0$, что противоречит вполне наблюдаемости, ч.т.д..

Замечание 1. Система (27)-(28) вполне наблюдаема \Leftrightarrow наблюдению $y \equiv 0$ соответствует только $x_0 = 0$:

$$y \mapsto !x_0 \Leftrightarrow y \equiv 0 \mapsto !x_0 = 0$$

Это выполнено в силу линейности системы и наблюдения.

Замечание 2. Задача об отыскании $x(t_0)$ по результатам наблюдений эквивалентна задаче об отыскании $x(t_1)$ (в отличие от бесконечномерного случая).

$$y \mapsto !x(t_0) \Leftrightarrow y \mapsto !x(t_1)$$

Рассмотрим нестационарный случай. Имеем:

$$x(t) = \Phi(t, t_0)x_0 \quad y(t) = G(t)\Phi(t, t_0)x_0$$

Пусть

$$W = \int_{t_0}^{t_1} \Phi^T(t, t_0)G^T(t)G(t)\Phi(t, t_0)dt$$

Теорема 5.2. Система (27)-(28) наблюдаема на промежутке времени $[t_0, t_1] \Leftrightarrow$ матрица W обратима.

Доказательство. Необходимость. В силу

$$Wx_0 = \int_{t_0}^{t_1} \Phi^T(t, t_0)G^T(t)G(t)\Phi(t, t_0)dt x_0 = \int_{t_0}^{t_1} \Phi^T(t, t_0)G^T(t)y(t)dt$$

начальное условие явным образом выражается через наблюдение, следовательно, оно единственно и система вполне наблюдаема.

Достаточность. Пусть система вполне наблюдаема. Докажем, что ранг матрицы W равен m .

Пусть W^{-1} не существует. Тогда

$$\exists \bar{x}_0 \neq 0 : W\bar{x}_0 = 0.$$

Домножив это выражение слева на \bar{x}_0^T , получим:

$$\bar{x}_0^T W \bar{x}_0 = \int_{t_0}^{t_1} \bar{x}_0^T \Phi^T(t, t_0)G^T(t)G(t)\Phi(t, t_0)\bar{x}_0 dt = \langle d(t), d(t) \rangle_{L_2[t_0, t_1]} = 0$$

Таким образом, $d(t) = G(t)\Phi(t, t_0)x_0 = y(t) \equiv 0$. Значит, система не является вполне наблюдаемой, ч.т.д..

5.1.3 Наличие помехи измерений

Пусть теперь наблюдения производятся не точно, а с некоторой помехой, то есть уравнение наблюдения (28) имеет вид

$$y(t) = G(t)x(t) + \xi, \xi \in S \subset \mathcal{S} \quad (33)$$

Здесь \mathcal{S} — метрическое пространство, а S — множество, ограниченное в \mathcal{S} . Нас интересует оценка начального состояния x_0 .

Определение. Информационное множество системы (27),(33) есть

$$U(y, t_0) = \{x_0 : \text{для траектории } x(t), \text{ порожденной системой (27), } \exists \xi \in S : (33)\}$$

Определение. Система (27),(33) называется наблюдаемой на $[t_0, t_1]$, если для любого наблюдения $y(\cdot)$, полученного в силу системы (33), информационное множество $U(y(\cdot), t_0)$ ограничено.

Пусть система (27)-(28) была наблюдаема $\Rightarrow \exists W^{-1}$. Домножим уравнение (33) слева на $\Phi^T(t, t_0)G^T(t)$ и проинтегрируем на $[t_0, t_1]$:

$$\int_{t_0}^{t_1} \Phi^T G^T y(t) dt = \int_{t_0}^{t_1} \Phi^T G^T G \Phi dt x_0 + \int_{t_0}^{t_1} \Phi^T G^T \xi(t) dt$$

Пусть для простоты $S = L_2^m[t_0, t_1]$ (т.е. помеха ограничена в L_2). Тогда существует такое число μ , что

$$\|\xi\|_{L_2} \leq \mu \quad \Rightarrow \quad \|x_0\| \leq \|W^{-1}\| \left\{ c_1 \|y\|_{L_2^m[t_0, t_1]} + c_2 \mu \right\}$$

Значит, $U(y(\cdot), t_0)$ ограничено и система (27),(33) наблюдаема.

5.2 Управляемость

Рассмотрим следующую систему

$$\begin{cases} \frac{dx}{dt} = A(t)x + B(t)u(t), & t \in [t_0, t_1] \\ x(t_0) = x_0, \quad x(t_1) = x_1 & x_0, x_1 \in R^n \end{cases} \quad (34)$$

Причем коэффициенты должны обеспечивать существование, единственность и продолжаемость решения на $[t_0, t_1] \forall u(\cdot) \in L_2^m[t_0, t_1]$.

Определение. Задача (34) вполне управляема на $[t_0, t_1]$, если $\forall x_0 \in R^n, x_1 \in R^n \exists u \in L_2^m[t_0, t_1]$, такое, что выполняется (34):

$$\exists u(\cdot) : x_0 \mapsto x_1 \text{ в силу (34)}$$

Будем рассматривать стационарный случай: $B(t) \equiv B, A(t) \equiv A$.

Теорема 5.3. Задача (34) вполне управляема $\Leftrightarrow \text{rang}\{B|AB|\dots|A^{n-1}B\} = n$.

Упражнение 12. Проведите доказательство теоремы самостоятельно, используя приведенные ниже замечания.

Замечание 1. Система

$$\begin{cases} \frac{dx}{dt} = -A^T x(t), \\ y(t) = B^T x(t) \end{cases}$$

называется сопряженной к (34). Она вполне наблюдаема \Leftrightarrow (34) вполне управляема

Замечание 2. Система (34) вполне управляема \Leftrightarrow она ноль управляема, т.е. $\forall x_0 \in R^n \quad \exists u(\cdot) \in L_2^m[t_0, t_1]$: для решения (34) $x_1 = 0$:

$$\forall x_0 \quad \exists u(\cdot) : x_0 \mapsto 0 \text{ в силу (34)}$$

Доказательство. Мы знаем, что система (34) 0-управляема на $[t_0, t_1]$. Зафиксируем произвольные $x_0, x_1 \in R^n$ и построим управление $u(\cdot) : x_0 \mapsto x_1$. Система (34) стационарна, следовательно,

$$\forall \tilde{t} \in (t_0, t_1) \text{ (34) 0-управляема на } [t_0, \tilde{t}], [\tilde{t}, t_1]$$

Построим на этих промежутках управления следующего вида:

$$\begin{aligned} u_1(\cdot), [t_0, \tilde{t}] : x_0 &\mapsto 0 \\ u_2(\cdot), [\tilde{t}, t_1] : [\hat{\Phi}(t_1 - \tilde{t})]^{-1}x_1 &\mapsto 0 \end{aligned}$$

Построим управление

$$u(t) = \begin{cases} u_1(\cdot), t \in [t_0, \tilde{t}], \\ -u_2(\cdot), t \in [\tilde{t}, t_1] \end{cases}$$

Тогда решение системы (34) с $x(t_0) = x_0$ будет удовлетворять следующим равенствам:

$$x(\tilde{t}) = 0 \quad x(t_1) = \hat{\Phi}(t_1 - \tilde{t}) \cdot 0 + \int_{\tilde{t}}^{t_1} \hat{\Phi}(t_1 - \tau) B(-u_2(\tau)) d\tau$$

По определению u_2 :

$$0 = \hat{\Phi}(t_1 - \tilde{t}) \{ (\hat{\Phi}(t_1 - \tilde{t}))^{-1} x_1 \} + \int_{\tilde{t}}^{t_1} \hat{\Phi}(t_1 - \tau) B u_2(\tau) d\tau$$

Следовательно, $x(t_1) = x_1$, ч.т.д..

Дадим теперь переформулировку задачи поиска $u(\cdot)$, облегчающее ее понимание. Требуется найти такое $u(\cdot)$, чтобы

$$0 = \hat{\Phi}(t_1 - t_0) x_0 + \int_{t_0}^{t_1} \hat{\Phi}(t_1 - \tau) B u(\tau) d\tau.$$

$$\hat{\Phi}(t_1 - t_0)x_0 = - \begin{bmatrix} \alpha_1 \\ \dots \\ \alpha_n \end{bmatrix} \quad \hat{\Phi}(t_1 - \tau)B = \begin{bmatrix} \varphi_1(\tau) \\ \dots \\ \varphi_n(\tau) \end{bmatrix} \quad \varphi_i(\cdot) \in L_2^m[t_0, t_1]$$

Замечание 3. "Проблема моментов" Управляемость задачи (34) эквивалентна существованию $u(\cdot) \in L_2^m[t_0, t_1]$, такого, что

$$\begin{bmatrix} \alpha_1 \\ \alpha_2 \\ \dots \\ \alpha_n \end{bmatrix} = \langle \begin{bmatrix} \varphi_1(\tau) \\ \varphi_2(\tau) \\ \dots \\ \varphi_n(\tau) \end{bmatrix}, u(\cdot) \rangle_{L_2^m[t_0, t_1]}$$

Или, что то же самое,

$$\alpha_i = \langle \varphi_i, u(\cdot) \rangle_{L_2^m[t_0, t_1]} \quad i = 1..n$$

Такая задача называется **проблемой моментов**.

Ясно, что в случае линейной зависимости $\{\varphi_i(\cdot)\}_{i=1}^n$ задача в общем случае не разрешима. Линейная же независимость системы $\{\varphi_i(\cdot)\}_{i=1}^n$ эквивалентна тому, что определитель Грамма не равен 0:

$$0 \neq \begin{vmatrix} \langle \varphi_1, \varphi_1 \rangle & \langle \varphi_1, \varphi_2 \rangle & \dots & \langle \varphi_1, \varphi_n \rangle \\ \langle \varphi_2, \varphi_1 \rangle & \langle \varphi_2, \varphi_2 \rangle & \dots & \langle \varphi_2, \varphi_n \rangle \\ \dots & \dots & \dots & \dots \\ \langle \varphi_n, \varphi_1 \rangle & \langle \varphi_n, \varphi_2 \rangle & \dots & \langle \varphi_n, \varphi_n \rangle \end{vmatrix}$$

Доказательство этого утверждения очевидно из определения линейной зависимости.

Замечание 4. Если система 0-управляема, существует бесконечное число управлений, переводящих ее из фиксированного x_0 в фиксированный x_1 . Однако существует хотя бы одно управление, такое, что

$$\|u(\cdot)\| \leq C \left\{ \max_i |\alpha_i| + \max_i \|\phi_i\|_{L_2^m[t_0, t_1]} \right\}$$

где константа C зависит от системы.

6.1 Наблюдаемость систем с распределенными параметрами

6.1.1 Постановка задачи

В этой главе мы будем рассматривать систему

$$\begin{cases} u_t = a^2 u_{xx} & 0 < x < l, 0 < t \leq T \\ u(0, t) = u(l, t) = 0 & 0 < t \leq T \\ u(x, 0) = u_0 & \text{— неизвестно} \end{cases} \quad (35)$$

и уравнение наблюдения

$$y = \mathbf{G}u(\cdot, \cdot) + \xi \quad (36)$$

Примеры возможных операторов наблюдения приведены на с. 7 для $u(\cdot, \cdot) = c(\cdot, \cdot)$ (пространственно усредненные наблюдения, финальное наблюдение, точечный сенсор).

Известно, что $\forall u_0 \in L_2(0, l)$ существует решение уравнения (35) из энергетического класса (см. [3]), то есть такое, что

1. $u(\cdot, \cdot) \in H^{1,0}((0, l) \times (0, T))$, то есть $u, \frac{du}{dx} \in L_2((0, l) \times (0, T))$
2. $\forall v \in H^1((0, l) \times (0, T)), v|_{t=T} = 0$ выполнено $\int_0^l \int_0^T (-uv_t + a^2 u_x v_x) dx dt = \int_0^l u_0(x) v(x, 0) dx$

Более того, u можно представить в виде ряда

$$u(x, t) = \sum_{k=1}^{\infty} u_0^k e^{-\lambda_k t} \varphi_k(x) \quad (37)$$

Где $\{\varphi_k\}_{k=1}^{\infty}$ — ОНС собственных функций задачи

$$\begin{aligned} a^2 \varphi_k'' &= -\lambda_k \varphi_k, & 0 < x < l \\ \varphi_k(0) &= \varphi_k(l) = 0 \end{aligned}$$

а λ_k — соответствующие им собственные значения. В нашей задаче

$$\varphi_k = \sqrt{\frac{2}{l}} \sin \frac{\pi k x}{l} \quad \lambda_k = \left(\frac{\pi k}{l} \right)^2 a^2.$$

Коэффициенты же u_0^k в (37) — коэффициенты Фурье разложения u_0 по $\{\varphi_k\}_{k=1}^\infty$:

$$u_0^k = \int_0^l \varphi_k(x) u_0(x) dx$$

Исследуем свойства ряда (37).

Замечание 1. Ряд сходится равномерно на любом множестве $[\delta, T] \times [0, l]$ где $\delta > 0$.

Доказательство.

$$|u(x, t)| \leq \sum_{k=1}^{\infty} e^{-(\frac{\pi k}{l}a)^2 \delta} |u_0^k| < \infty$$

Из равномерной сходимости ряда следует, в частности, непрерывность u на любом сегменте такого вида.

Замечание 2. Функция $u(x, t)$ непрерывна на $t > 0$. Более того, u можно любое число раз дифференцировать по x и по t в области $[\delta, T] \times [0, l]$ и производная будет непрерывна в этой области.

Замечание 3. Если рассматривать ту же задачу в $\Omega \subset R^n$,

$$\begin{cases} \frac{\partial u}{\partial t} = \Delta u & x \in \Omega, \ 0 < t \leq T \\ u|_{t=0} = u_0 \\ u|_{\partial\Omega} = 0 \end{cases}$$

где $\partial\Omega \in C^2$, $u_0 \in L_2(\Omega)$, то $u(\cdot, t) \in H^2(\Omega)$ по аргументу $x \ \forall t > 0$, а при $n \leq 3$ $u(\cdot, t) \in C(\overline{\Omega})$.

Доказательство. Для доказательства используем следующую теорему (см. [3]):

Теорема 6.1. $H^{l+1+[\frac{n}{2}]}(\Omega) \subset C^l(\overline{\Omega})$

6.1.2 Различные виды наблюдаемости

Итак, мы рассматриваем задачу

$$\begin{cases} u_t = a^2 u_{xx} & 0 < x < l, \ 0 < t \leq T \\ u(0, t) = u(l, t) = 0 & 0 < t \leq T \\ u(x, 0) = u_0 - ? \end{cases} \quad (38)$$

при наблюдении

$$y = \mathbf{G}u(\cdot, \cdot). \quad (39)$$

или при наблюдении с возможной помехой:

$$y = \mathbf{G}u(\cdot, \cdot) + \xi \quad (40)$$

где \mathbf{G} – линейный оператор, так называемый оператор наблюдения, линейный и непрерывный на том пространстве, которому принадлежит решение задачи (38). В нашем случае $\mathbf{G} \in \mathcal{L}(H^{1,0}((0, l) \times (0, T)), \mathcal{Y})$, \mathcal{Y} – некоторое гильбертово пространство. Часто \mathcal{Y} имеет вид $\mathcal{Y} = L_2(Y; (0, T))$, где Y , в свою очередь, гильбертово пространство. Примеры операторов наблюдения приведены на с. 7.

В случае, когда рассматривается уравнение (40), помеха предполагается ограниченной в \mathcal{Y} :

$$\|\xi\|_{\mathcal{Y}} \leq \mu \quad (41)$$

Нужно по результатам наблюдения y оценить состояние системы в некоторый заданный момент времени t .

Определение. Система (38), (39) называется **(слабо) наблюдаемой**, если по $y(\cdot)$ можно однозначно восстановить u_0 .

Замечание. Система слабо наблюдаема \Leftrightarrow когда сигналу $y \equiv 0$ соответствует только $u_0 = 0$

Пример. Исследуем, выполнено ли свойство слабой наблюдаемости, если в качестве оператора \mathbf{G} рассматривать оператор финального наблюдения $y = u(x, T)$ Из представления (37) имеем:

$$y(x) = \sum_{n=1}^{\infty} e^{-(\frac{\pi n}{l}a)^2 T} u_0^n \sqrt{\frac{2}{l}} \sin \frac{\pi n x}{l},$$

где u_0^n – коэффициенты Фурье.

Пусть $y(x) \equiv 0$. Домножим скалярно это уравнение на $\sqrt{\frac{2}{l}} \sin \frac{\pi k x}{l}$. Тогда

$$0 = e^{-(\frac{\pi k}{l}a)^2 T} u_0^k.$$

Отсюда $u_0^k = 0 \quad \forall k$. Следовательно, $u_0 \equiv 0$. Значит, при данном операторе \mathbf{G} система (38)-(39) слабо наблюдаема.

Рассмотрим теперь систему (38),(40),(41) с тем же оператором наблюдения. Рассмотрим информационное множество для нулевого наблюдения в момент времени $t = 0$

$$U[0, 0] = \{u_0 | u(x, t) — решение (38), u(x, T) + \xi = 0, \|\xi\| \leq \mu\}.$$

Докажем, что оно не ограничено. Рассмотрим следующую последовательность начальных условий:

$$u_0^{(k)} = Ck\mu \sqrt{\frac{2}{l}} \sin \frac{\pi k x}{l},$$

где C – некоторая константа. Тогда

$$\|u_0^{(k)}\| = Ck\mu\sqrt{\frac{2}{l}} \xrightarrow{k \rightarrow \infty} \infty,$$

а решения задачи (38) с $u_0 = u_0^{(k)}$ в момент $t = T$ равны

$$\|u^{(k)}(x, T)\| = \|Ck\mu\sqrt{\frac{2}{l}} \sin \frac{\pi kx}{l} e^{-(\frac{\pi k}{l})^2 T}\| = ck\mu e^{-(\frac{\pi k}{l})^2 T} \xrightarrow{k \rightarrow \infty} 0.$$

Следовательно, существует C такое, что $\forall \mu \quad \|u^{(k)}(x, T)\| \leq \mu$. А значит, $U[0, 0]$ неограничено.

И такая ситуация складывается для большинства возможных операторов наблюдения. Для них задача оценивания начального состояния поставлена некорректно. Поэтому будем решать задачу оценки конечного состояния.

Определение. Система (38), (40), (41) называется **сильно наблюдаемой**, если информационное множество

$$U[y, T] = \{u(x, T) | u(x, t) — \text{решение (38), } \mathbf{G}u(\cdot, \cdot) + \xi(\cdot) = y(\cdot), \|\xi\| \leq \mu\}$$

ограничено.

Введем оператор D , действующий следующим образом:

$$\begin{array}{ccc} u(\cdot, T) & \rightarrow & u_0(\cdot) \\ D \downarrow & & \downarrow \\ \mathbf{G}u(\cdot, \cdot) & \leftarrow & u(\cdot, \cdot) \end{array}$$

Определение. Система (38), (40) называется **непрерывно наблюдаемой**, если оператор D^{-1} непрерывен.

Теорема 6.2. Непрерывная наблюдаемость эквивалентна сильной наблюдаемости.

Упражнение 13. Доказать теорему.

Замечание.

$$\begin{aligned} y(x) = u(x, T) &= \sum_1^\infty e^{-(\frac{\pi n}{l}a)^2 T} \left\{ \sqrt{\frac{2}{l}} \int_0^l u_0(\xi) \sin \frac{\pi n\xi}{l} d\xi \right\} \sqrt{\frac{2}{l}} \sin \frac{\pi nx}{l} = \\ &= \int_0^l \left\{ \sum_{n=1}^\infty e^{-(\frac{\pi n}{l}a)^2 T} \frac{2}{l} \sin \frac{\pi n\xi}{l} \sin \frac{\pi nx}{l} \right\} u_0(\xi) d\xi = \\ &= \int_0^l K(x, \xi) u_0(\xi) d\xi \end{aligned}$$

Это — уравнение Фредгольма первого рода с непрерывным ядром $K(x, \xi)$. Имеем:

$$y(x) = \mathcal{K}u_0, \quad \mathcal{K} \in \mathcal{L}(L_2(0, l))$$

Оператор \mathcal{K} будет вполне непрерывным. Поэтому задача поиска u_0 является некорректно поставленной.

6.1.3 Исследование наблюдаемости системы с неподвижным точечным сенсором

Рассмотрим точечный сенсор $y(t) = u(\bar{x}, t)$, $0 < \Delta \leq t \leq T$. Исследуем наблюдаемость системы (38), (39) с таким сенсором ($u_0 \in L_2$):

1. ранее (см. с. 30) было доказано, что $y(t)$ непрерывна;
2. Докажем, что $y \in L_2[\Delta, T]$:

$$\begin{aligned} \int_{\Delta}^T y^2(t) dt &= \int_{\Delta}^T \left\{ \sum_{k=1}^{\infty} e^{-\lambda_k t} u_0^k \varphi_k(\bar{x}) \right\}^2 dt \leq \{ \text{неравенство Коши-Буняковского} \} \leq \\ &\leq \int_{\Delta}^T \left\{ \sqrt{\sum (u_0^k)^2} \cdot \sqrt{\sum e^{-2\lambda_k t} \varphi_k^2(\bar{x})} \right\}^2 dt \leq \\ &\leq \|u_0\|^2 \sum_{k=1}^{\infty} \varphi_k^2(\bar{x}) (T - \Delta) e^{-2\lambda_k \Delta} \leq \|u_0\|^2 \sum_{k=1}^{\infty} (T - \Delta) e^{-2\lambda_k \Delta} \cdot \frac{2}{T} < \infty \end{aligned}$$

3. Докажем слабую наблюдаемость системы (38), (39). Пусть

$$y = \sum_{k=1}^{\infty} e^{-\lambda_k t} \varphi_k(\bar{x}) u_0^k \equiv 0, \quad t \in [\Delta, T] \quad (42)$$

Перейдем к комплексной плоскости (см. рисунок). Рассмотрим функцию комплексного переменного $\phi(z) = \sum_{k=1}^{\infty} e^{-\lambda_k z} \varphi_k(\bar{x}) u_0^k$ на множестве $\{z \mid \operatorname{Re} z \geq \frac{\Delta}{2}\}$. Этот ряд сходится равномерно по признаку Вейерштрасса, так как

$$|\phi(z)| \leq \sum_{k=1}^{\infty} e^{-\lambda_k \frac{\Delta}{2}} |\varphi_k(\bar{x}) u_0^k|.$$

Следовательно, $\phi(z)$ — аналитическая функция. Кроме того, $\phi(z) \equiv 0$ на $[\Delta, T]$. Отсюда $\phi(z) \equiv 0$ на $\{z \mid \operatorname{Re} z \geq \frac{\Delta}{2}\}$.

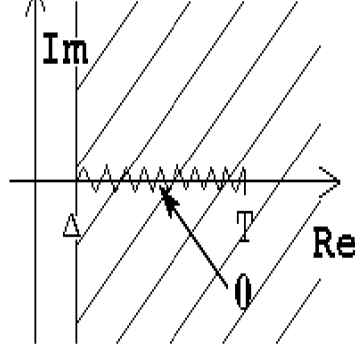


Рис. 1: Выход в комплексную плоскость

Итак, мы установили, что $\phi(z) \equiv 0$, следовательно, равенство (42) выполнено не только на $t \in [\Delta, T]$, но и на $t \in [\Delta, \infty]$. Тогда, домножив (42) на $e^{\lambda_1 t}$, получим:

$$\sum_{k=2}^{\infty} e^{-(\lambda_k - \lambda_1)t} \varphi_k(\bar{x}) u_0^k + \varphi_1(\bar{x}) u_0^1 \equiv 0.$$

Откуда при $t \rightarrow \infty$ получим: $\varphi_1(\bar{x}) u_0^1 = 0$. Аналогично

$$\varphi_n(\bar{x}) u_0^n = 0, \quad n = 2, 3, \dots,$$

где $\varphi_i(\bar{x}) = \sqrt{\frac{2}{l}} \sin \frac{\pi \bar{x} i}{l}$. Отсюда следует следующая теорема:

Теорема 6.3. Система слабо наблюдаема $\Leftrightarrow \bar{x}/l$ иррационально.

4. Исследуем сильную наблюдаемость системы (38),(40),(41). Пусть

$$y = \sum_{k=1}^{\infty} e^{-\lambda_k t} \varphi_k(\bar{x}) u_0^k + \xi(t) \equiv 0$$

Заменим $e^{-t} = z$. Тогда

$$\sum_{k=1}^{\infty} z^{\lambda_k} \varphi_k(\bar{x}) u_0^k + \xi(-\ln z) \equiv 0, \quad a = e^{-T} \leq z \leq e^{-\Delta} = b.$$

Для дальнейшего доказательства нам потребуется следующая теорема:

Теорема 6.4. (Мюнтца-Шатца).

(а) Система $\{z^{\lambda_k}\}$ полна в $L_2[a, b]$ $\Leftrightarrow \sum_{k=1}^{\infty} \frac{1}{\lambda_k} = \infty$;

(b) Если $\sum_{k=1}^{\infty} \frac{1}{\lambda_k} < \infty$, то существует система $\{p_k(z)\}_{k=1}^{\infty}$ такая, что $\langle z^{\lambda_k}, p_n \rangle_{L_2} = \delta_n^k$ и $\|p_n\|_{L_2} \leq \alpha e^{\sqrt{\lambda_n} \beta}$, где α, β – некоторые константы.

В нашем случае соответствующий ряд сходится. Домножим скалярно уравнение на $p_n(z)$. Получим:

$$u_0^n \varphi_n(\bar{x}) = - \int_{e^{-T}}^{e^{-\Delta}} \xi(-\ln z) p_n(z) dz.$$

Отсюда

$$|u_0^n| \leq \frac{|\int \xi(-\ln z) p_n(z) dz|}{|\varphi_n(\bar{x})|} \leq \{\text{нер-во Коши-Буняковского}\} \leq \frac{\|\xi\| \|p_n\|}{|\varphi_n(\bar{x})|} \leq \frac{\mu \alpha e^{\frac{\pi n}{t} \beta}}{|\varphi_n(\bar{x})|}$$

Следовательно,

$$\|u(\cdot, T)\| \leq \sum_{n=1}^{\infty} e^{-(\frac{\pi n}{t} a)^2 T + \frac{\pi n}{t} \beta} \frac{\mu \alpha}{|\varphi_n(\bar{x})|}$$

Обозначим через $\|x\|$ расстояние от точки x до ближайшего целого.

Определение. $\{x \mid \|kx\| \geq \frac{c_0}{k}\}$ – точки **постоянного типа**. Такими точками являются, например, точки вида $x = A + \sqrt{B}$, где B – не полный квадрат.

Теорема 6.5. Если \bar{x} – иррациональная точка, а $\frac{\bar{x}}{l}$ – точка постоянного типа, то рассматриваемая система сильно наблюдаема.

Доказательство. Следует из вышеприведенных рассуждений в силу:

$$\left| \sin \frac{\pi n \bar{x}}{l} \right| = \left| \sin(\pi \{k + \|\frac{n \bar{x}}{l}\|\}) \right| = \left| \sin(\pi k + \pi \|\frac{n \bar{x}}{l}\|) \right| = \left| \sin(\pi \|\frac{n \bar{x}}{l}\|) \right| \geq \frac{2\pi}{\pi} \|\frac{n \bar{x}}{l}\| \geq \frac{2c_0}{n},$$

так как при $\gamma \in [0, \pi/2]$ выполнено $\sin \gamma \geq 2\gamma/\pi$.

6.1.4 Исследование наблюдаемости системы с неподвижным сенсором при $n > 1$

Рассмотрим в n -мерном пространстве, $n \leq 3$, следующую задачу:

$$\begin{cases} u_t = \Delta u & x \in \Omega \subset R^n, 0 < t \leq T \\ u|_{\partial\Omega} = 0 & \partial\Omega \in C^2 \\ u(x, 0) = u_0 - ? \end{cases} \quad (43)$$

и сенсор $\begin{pmatrix} y_1(t) \\ \dots \\ y_M(t) \end{pmatrix} = \begin{pmatrix} u(\bar{x}_1, t) \\ \dots \\ u(\bar{x}_M, t) \end{pmatrix}$ или $\begin{pmatrix} \int_{\Omega} \omega_1(x) u(x, t) dx \\ \dots \\ \int_{\Omega} \omega_M(x) u(x, t) dx \end{pmatrix}$

Специфика $n = 2, 3$ состоит в том, что одному собственному значению может соответствовать

несколько собственных функций, например, функциям $\sin \frac{x}{l} \cdot \sin \frac{y}{l}$ и $\sin \frac{x}{l} \cdot \sin \frac{y}{l}$ отвечает одно собственное значение $\lambda = n^2 + m^2$.

Решение имеет вид

$$u = \sum_{k=1}^{\infty} e^{-\lambda_k t} \sum_{j=1}^{m_k} u_0^{kj} \varphi_{kj}(x),$$

где m_k — кратность λ_k .

Рассмотрим пространственно усредненные наблюдения и докажем слабую наблюдаемость системы (43).

$$y_i(t) = \int_{\Omega} \sum_{k=1}^{\infty} e^{-\lambda_k t} \sum_{j=1}^{m_k} u_0^{kj} \varphi_{kj}(x) \omega_i(x) dx = \sum_{k=1}^{\infty} e^{-\lambda_k t} \sum_{j=1}^{m_k} u_0^{kj} \omega_i^{kj},$$

где ω_i^{kj} — коэффициенты Фурье для ω_i . Пусть $y_i(t) \equiv 0$ на $[0, T]$ $i = 1..M$. Проведя рассуждения, аналогичные использованным при доказательстве слабой наблюдаемости системы с точечным сенсором в одномерном пространстве (с. 33), получаем:

$$\sum_{j=1}^{m_k} u_0^{kj} \omega_i^{kj} = 0$$

Введем следующие обозначения:

$$U_k = \begin{pmatrix} u_0^{k1} \\ \dots \\ u_0^{km_k} \end{pmatrix} \text{ и } W_k = \begin{pmatrix} w_1^{k1} & \dots & w_1^{km_k} \\ \dots & \dots & \dots \\ w_M^{k1} & \dots & w_M^{km_k} \end{pmatrix}$$

Тогда последнее уравнение можно записать в следующем виде:

$$W_k U_k = 0 \quad \forall k$$

Теорема 6.6. Пусть существует \bar{M} такое что $m_k \leq \bar{M} \quad \forall k$. Тогда система (43) с интегральным сенсором слабо наблюдаема \Leftrightarrow когда $\text{rang } W_k = m_k \quad \forall k$.

Упражнение 14. Сформулировать и доказать аналогичную теорему для векторного точечного сенсора.

6.1.5 Исследование наблюдаемости систем с движущимся точечным сенсором

Рассмотрим движущийся точечный сенсор:

$$y(t) = u(x(t), t) + \xi \quad \mathcal{Y} = C[t_0, T] \quad (44)$$

$$u(x, T) \leq \max_{\gamma_1, \gamma_2, \gamma_3} |u(x, t)|$$

Где γ_1 – траектория сенсора, удовлетворяющая некоторым требованиям гладкости, проходящая

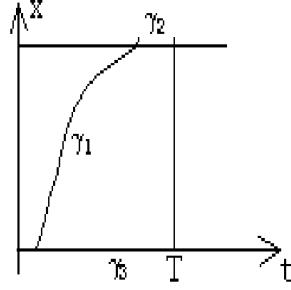


Рис. 2: Траектория сенсора

весь отрезок по x .

Теорема 6.7. Если $x(t)$ — гладкая на $0 < t_0 \leq t \leq t_1 < T$ кривая, проходящая весь отрезок, то система (38),(44) сильно наблюдаема.

Доказательство. По принципу максимума

$$\max |u(x, T)| \leq \max_{\gamma_1} |u(x, t)| = \max_{[t_0, t_1]} |u(x(t), t)| = \max_{[t_0, t_1]} |y - \xi| \leq \|y\| + \|\xi\|.$$

ч.т.д..

Теперь рассмотрим движущийся сенсор в R^n , $n \leq 3$, и систему

$$\begin{cases} u_t = \Delta u & x \in \Omega \subset R^n \\ u|_{\partial\Omega} = 0 & \partial\Omega \in C^2 \\ u(x, 0) = ? \end{cases} \quad (45)$$

$$y = u(\bar{x}(t), t) + \xi, \quad (46)$$

где функция $\bar{x}(t)$ кусочно-непрерывна на $[\Delta, T]$, и ограничение

$$\|\xi\|_{C(\Delta, T)} \leq \mu. \quad (47)$$

Пространство $C(\bar{\Omega} \times [\Delta, T])$ сепарабельно. Следовательно, $\forall \varepsilon > 0$ в этом пространстве существует счетная ε -сеть. Напомним определение:

Определение. Система $\{\varphi_i^\varepsilon\}_{i=1}^\infty$ образует счетную ε -сеть в пространстве \mathcal{Y} , если $\forall y \in \mathcal{Y}$ существует номер $i^* : \|\varphi_{i^*}^\varepsilon - y\|_{\mathcal{Y}} \leq \varepsilon$.

Итак, существует система $\{u_i^\varepsilon(x, t)\}_{i=1}^\infty \subset C(\bar{\Omega} \times [\Delta, T])$. Рассмотрим последовательность $\{t_k\}_1^\infty : \forall k \Delta \leq t_1 < t_2 < \dots < t_k < T$. В силу монотонности последовательности существует $\bar{T} = \lim_{k \rightarrow \infty} t_k$. Рассмотрим точки

$$x_i \in \text{Arg max}_{\bar{\Omega}} |u_i^\varepsilon(x, t_i)| \quad (48)$$

Построим траекторию $\bar{x}(t)$, которая в момент времени t_i проходит через точку x_i , $i = 1 \dots \infty$, и непрерывна на $[\Delta, \bar{T}) \cup (\bar{T}, T]$.

Теорема 6.8. При такой траектории $\bar{x}(t)$ система (45)-(47) сильно наблюдаема.

Доказательство. Докажем ограниченность информационного множества

$$U(y, T) = \{\hat{u} \mid \exists u_0 \in L_2(\Omega) : u(x, t) - \text{решение (45)}, \hat{u} = u(x, T), \|y(\cdot) - u(\bar{x}(\cdot), \cdot)\|_C \leq \mu\}$$

По определению ε -сети

$$\exists i_* : \|u_{i_*}^\varepsilon(x, t) - u(x, t)\|_{C(\bar{\Omega} \times [\Delta, T])} \leq \varepsilon \quad (49)$$

Теперь, используя принцип максимума, можно записать следующую цепочку неравенств:

$$\begin{aligned} |u(x, T)| &\leq \max_{\bar{\Omega}} |u(x, t_{i_*})| \leq \{\text{в силу (49)}\} \leq \max_{\bar{\Omega}} |u_{i_*}^\varepsilon(x, t_{i_*})| + \varepsilon = \\ &= \{\text{в силу (48)}\} = |u_{i_*}^\varepsilon(x_{i_*}, t_{i_*})| + \varepsilon \leq \{\text{из определения } \varepsilon\text{-сети}\} \leq \\ &\leq |u(x_{i_*}, t_{i_*})| + 2\varepsilon = \{\text{из (46)}\} = |y(t_{i_*}) - \xi(t_{i_*})| + 2\varepsilon \leq \|y\|_{C(\bar{\Omega} \times [\Delta, T])} + \mu + 2\varepsilon \end{aligned}$$

Следовательно, информационное множество ограничено, и система является сильно наблюдаемой.

6.2 Управляемость систем с распределенными параметрами

6.2.1 Двойственность управляемости и наблюдаемости

Для формулировки задачи управляемости, двойственной к рассмотренной задаче наблюдаемости, введем новые обозначения. Обозначим за $S(t)$ оператор, переводящий $u_0 \in L_2(\Omega)$ в решение задачи (45):

$$S(t) : u_0 \mapsto u(\cdot, t; u_0) \quad S(0) = \mathcal{E} \quad S(t) \in \mathcal{L}(L_2(\Omega), L_2(\Omega))$$

Операторы $S(t)$ образуют сильно непрерывную полугруппу, т.е. они непрерывны по t в сильной топологии и $S(t_1 + t_2) = S(t_1)S(t_2)$. Также обозначим

$$\mathcal{K} = \mathbf{G}S(\cdot) \in \mathcal{L}(L_2(\Omega), \mathcal{Y}) \Rightarrow \mathcal{K}u_0 = y(\cdot)$$

В терминах оператора \mathcal{K} можно переписать некоторые данные в 6.1.2 определения.

Теорема 6.9. Слабая наблюдаемость $\Leftrightarrow \text{Ker } \mathcal{K} = \{0\} \Leftrightarrow \overline{\text{Im } \mathcal{K}^*} = \mathcal{Y}$.

Определение. Пусть \mathcal{P} - гильбертово, $P \subseteq \mathcal{P}$. Опорной функцией к множеству P в направлении l называется следующая функция:

$$\rho(l|P) = \sup_{p \in P} \langle l, p \rangle, \quad l \in \mathcal{P}$$

Теорема 6.10. Система сильно наблюдаема $\Leftrightarrow \rho(l|U[T, y]) < \infty, \forall l \in L_2(\Omega)$.

Доказательство. Напомним, что система называется сильно наблюдаемой, если информационное множество $U[T, y]$ ограничено. Здесь

$$U[T, y] = \{\hat{u} \mid \exists u_0 \in L_2(\Omega) : \hat{u} = S(T)u_0, \|y - \mathcal{K}u_0\| \leq \mu\}$$

Множество ограничено \Leftrightarrow его опорная функция ограничена $\forall l$ (по теореме Банаха-Штейнгауза из курса функционального анализа).

Исследуем теперь эту опорную функцию:

$$\begin{aligned} \rho(l|U[T, y]) &= \sup_{u_0 \in \Omega} \{\langle l, S(T)u_0 \rangle \mid \|y - \mathcal{K}u_0\| \leq \mu\} = \\ &= \sup_{u_0} \{\langle S^*(T)l, u_0 \rangle \mid \|y - \mathcal{K}u_0\| \leq \mu\} = \rho(S^*(T)l|U[0, y]) \end{aligned}$$

Теорема 6.11. Система сильно наблюдаема $\Leftrightarrow \forall l \in L_2(\Omega) \exists \lambda \in \mathcal{Y}^* :$
 $\mathcal{K}^*\lambda = S^*(T)l$

Доказательство. Поясним сформулированную только что теорему. Имеем:

$$\rho(l|U[T, y]) = \sup_{u_0 \in \Omega} \{\langle S^*(T)l, u_0 \rangle \mid \|y - \mathcal{K}u_0\| \leq \mu\}$$

Так как $\|\mathcal{K}u_0\| \leq \mu + \|y\|$, ограниченность $U[T, 0]$ равносильна ограниченности $U[T, y]$. Допустим, что существует такое $\lambda \in \mathcal{Y}^*$, что $\mathcal{K}^*\lambda = S^*(T)l$. Тогда $\langle S^*(T)l, u_0 \rangle = \langle \mathcal{K}^*\lambda, u_0 \rangle = \langle \lambda, \mathcal{K}u_0 \rangle$. Оказывается, что

$$\rho(l|U[T, 0]) = \sup_{u_0} \{\langle S^*(T)l, u_0 \rangle \mid \|\mathcal{K}u_0\| \leq \mu\} = \inf_{\lambda \in \mathcal{Y}^*} \{\mu \|\lambda\| \mid \mathcal{K}^*\lambda = S^*(T)l\} \quad (50)$$

Упражнение 15. Покажите самостоятельно, что в (50) $\sup \leq \inf$.

Понятно, что $\rho(l|U[T, 0]) < \infty \Leftrightarrow$ инфимум в (50) ограничен. А это верно в том случае, если

$$\exists \lambda \in \mathcal{Y}^* : \mathcal{K}^*\lambda = S^*(T)l \quad (51)$$

Если рассматривать λ как управление, оказывается, что задача нахождения λ (51) есть задача управляемости, эквивалентная задаче наблюдаемости

$$\begin{cases} u_t = \Delta u & x \in \Omega \subset R^n \\ u|_{\partial\Omega} = 0 & \partial\Omega \in C^2 \\ u(x, 0) = ? \end{cases} \quad (52)$$

$$y = \mathbf{G}u(\cdot, \cdot) + \xi \quad (53)$$

$$\|\xi\|_{\mathcal{Y}} \leq \mu. \quad (54)$$

Пример. Рассмотрим задачу (52)-(54) с $n = 1$, $\Omega = (0, l)$, $\mathbf{G}u(\cdot, \cdot) = \int_0^l w(x)u(x, t)dx$ (интегральный сенсор) и $\mathcal{Y} = L_2(0, T)$. Найдем \mathcal{K}^* . Используя представление (37), имеем:

$$\mathcal{K}u_0 = \int_{\Omega} \omega(x)S(t)u_0 dx = \int_{\Omega} \omega(x) \sum_{i=1}^{\infty} e^{-\lambda_i t} \varphi_i(x) u_0^i dx = \sum_{i=1}^{\infty} e^{-\lambda_i t} \omega_i u_0^i$$

Здесь ω_i — коэффициенты Фурье функции $\omega(x) \in L_2(0, l)$. Теперь для вычисления \mathcal{K}^* необходимо рассмотреть скалярное произведение $\langle \mathcal{K}u_0, \lambda \rangle$ и свести его к виду $\langle u_0, \dots \lambda \rangle$.

$$\begin{aligned} \langle \mathcal{K}u_0, \lambda \rangle &= \langle \sum_{i=1}^{\infty} e^{-\lambda_i t} \omega_i u_0^i, \lambda \rangle_{L_2(0, T)} = \sum_{i=1}^{\infty} u_0^i \left\{ \omega_i \int_0^T e^{-\lambda_i t} \lambda(t) dt \right\} = \\ &= \langle u_0, \sum_{i=1}^{\infty} \varphi_i(x) \omega_i \int_0^T e^{-\lambda_i t} \lambda(t) dt \rangle. \\ \text{Отсюда } K^* \lambda(\cdot) &= \sum_{i=1}^{\infty} \varphi_i(x) \omega_i \int_0^T e^{-\lambda_i t} \lambda(t) dt. \end{aligned}$$

Мы воспользовались тем, что, если $u_1 = \sum \varphi_i u_1^i$ и $u_2 = \sum \varphi_i u_2^i$, то $\langle u_1, u_2 \rangle = \sum u_1^i u_2^i$.

Если сформулировать следующую задачу управления:

$$\begin{cases} v_t = -v_{xx} + w(x)\lambda(t) & 0 < x < l, \ 0 < t \leq T \\ v(0, t) = v(l, t) = 0 & 0 < t \leq T \\ v(x, T) = 0; \ v(x, 0) = S^*(T)l \end{cases} \quad (55)$$

где $\lambda(\cdot) \in L_2(0, l)$ — допустимые управления, а цель — привести систему в обратном времени из точки 0 в точку $S^*(T)l$, то $v(x, 0)$ как раз равно $\mathcal{K}^* \lambda(\cdot)$. Таким образом, задача об управляемости системы (55) эквивалентна разрешимости уравнения $\mathcal{K}^* \lambda = S^*(T)l$, что в свою очередь эквивалентно сильной наблюдаемости системы (52)-(54) с интегральным сенсором.

Используя приведенные в предыдущем параграфе рассуждения, легко доказать следующую теорему:

Теорема 6.12.

$$\left\{ \begin{array}{c} \text{Сильная} \\ \text{наблюдаемость} \end{array} \right\} \Leftrightarrow \left\{ \begin{array}{c} \exists \lambda(\cdot) \in \mathcal{Y}^* : \\ \mathcal{K}^* \lambda = S^*(T)l \end{array} \right\} \Leftrightarrow \left\{ \begin{array}{c} S^*(T)\{L_2(\Omega)\} \subset \text{Im } \mathcal{K}^* \\ \text{(сильная управляемость)} \end{array} \right\}$$

Определение. Если $\forall \varphi \in L_2(\Omega)$, $\forall \varepsilon > 0 \exists \varphi_\varepsilon(\varphi) \in O_\varepsilon(\varphi)$, такое, что $\exists \lambda_\varepsilon(\cdot) : \mathcal{K}^* \lambda_\varepsilon = \varphi_\varepsilon$, система управления

$$\mathcal{K}^* \lambda = S^*(T)l \quad (56)$$

называется **аппроксимативно управляемой**.

Так как слабая наблюдаемость $\Leftrightarrow \overline{\text{Im } \mathcal{K}^*} = L_2(\Omega) \Leftrightarrow \forall \varphi \forall \varepsilon \exists \varphi_\varepsilon \in O_\varepsilon(\varphi)$, такой что $\exists \lambda_\varepsilon : \mathcal{K}^* \lambda_\varepsilon = \varphi_\varepsilon$, верна следующая теорема:

Теорема 6.13. Слабая наблюдаемость системы (52)-(54) \Leftrightarrow аппроксимативной управляемости (56).

Теорема 6.14. Слабая наблюдаемость (52)-(54)

$$\Leftrightarrow \mathcal{B}u_0 \neq 0 : \forall \alpha \in R^1 \alpha u_0 \in U[0, 0]$$

$$\Leftrightarrow \mathcal{B}u \neq 0 : \forall \alpha \in R^1 \alpha u \in U[T, 0] \quad \text{Заметим, что в случае } \alpha u \notin U[T, 0] \text{ тем не менее}$$

возможно, что $\alpha u \in \overline{U[T, 0]}$.

Упражнение 16. Докажите теорему самостоятельно, используя, что $U[0, 0] = \{u_0 | \|\mathcal{K}u_0\| \leq \mu\}$.

Определение. Система (52)-(54) ε -наблюдаема, если $\forall y \forall l \in L_2 \forall \varepsilon > 0 \exists l_\varepsilon \in O_\varepsilon(l) : \rho(l_\varepsilon | U[T, y]) < \infty$.

Теорема 6.15. Система ε -наблюдаема $\Leftrightarrow \mathcal{B}u \neq 0 : \forall \alpha \in R^1 \alpha u \in \overline{U[T, 0]}$

Без доказательства

Замечание. Сильная наблюдаемость $\Rightarrow \varepsilon$ -наблюдаемость \Rightarrow слабая наблюдаемость

Докажем, что из слабой наблюдаемости не следует ε -наблюдаемости.

Пример. Рассмотрим систему

$$\begin{cases} u_t = u_{xx}, & 0 < x < \pi, \quad 0 < t \leq T \\ u(0, t) = 0; \quad u(\pi, t) = 0 \\ u(x, 0) = u_0(x) - ? \end{cases} \quad (57)$$

$$y = y(t) = \int_0^\pi g(x, t) u(x, t) dx, \quad 0 < \Delta \leq t \leq T \quad (58)$$

где функция $g(x, t)$ имеет вид:

$$g(x, t) = \varphi_1(x) e^{-\lambda_1 T} + \sum_{k=2}^{\infty} \varphi_k(x) e^{-\lambda_k(T-t)} \left\{ e^{-\lambda_k t} - \frac{k}{k-1} e^{-\lambda_{k-1} t} \right\} \in L_2([0, l] \times [\Delta, T])$$

1. Система (57)-(58) слабо наблюдаема:

$$\begin{aligned} 0 &= y(t) = G(t)S(t)u_0 = \int_0^\pi g(x, t) \left\{ \sum_{k=1}^{\infty} \varphi_k(x) e^{-\lambda_k t} u_0^k \right\} dx = e^{-\lambda_1 T - \lambda_1 t} u_0^1 + \\ &+ \sum_{k=2}^{\infty} e^{-\lambda_k(T-t)} \{ e^{-\lambda_k t} e^{-\lambda_k t} u_0^k \} - \sum_{k=2}^{\infty} \frac{k}{k-1} e^{-\lambda_k(T-t)} e^{-\lambda_{k-1} t} e^{-\lambda_k T} u_0^k = \\ &= e^{-\lambda_1 T - \lambda_1 t} u_0^1 + + \sum_{k=2}^{\infty} e^{-\lambda_k T - \lambda_k t} u_0^k - \sum_{k'=1}^{\infty} \frac{k'+1}{k'} e^{-\lambda_{k'+1} T - \lambda_{k'} t} u_0^{k'+1} = \\ &= \sum_{k=1}^{\infty} e^{-\lambda_k t} \{ e^{-\lambda_k T} u_0^k - \frac{k+1}{k} e^{-\lambda_{k+1} T} u_0^{k'+1} \} = 0 \end{aligned}$$

Мы получили тождество вида $\sum e^{-\lambda_i t} p_i \equiv 0$, где p_i — некоторые константы. Используя переход в комплексную плоскость и проведя рассуждения, аналогичные использованным при доказательстве слабой наблюдаемости системы с точечным сенсором в одномерном пространстве (с. 33), получаем: $p_i = 0 \quad \forall i$, то есть:

$$u_0^k e^{-\lambda_k T} = \frac{k+1}{k} u_0^{k+1} e^{-\lambda_{k+1} T} \quad k = 1, 2, \dots$$

Отсюда следует слабая наблюдаемость системы, так как:

Если $u_0^1 = 0 \Rightarrow u_0^i = 0 \quad \forall i$

Если $u_0^1 \neq 0 \Rightarrow |u_0^{k+1}| > |u_0^k| \quad \forall k \Rightarrow$ ряд $\sum (u_0^k)^2$ расходится.

2. Система (57)-(58) не является ε -наблюдаемой.

Для доказательства воспользуемся критерием: система не является ε -наблюдаемой $\Leftrightarrow \exists u : \forall \alpha \in R^1 \quad \alpha u \in \overline{U[T, 0]}$ Докажем, что

$$\exists u^{(N)} \in U[0, T] : u^{(N)} \rightarrow \sqrt[4]{N} \hat{u}$$

(т.к. множество выпукло, то достаточно доказать для таких α). Рассмотрим

$$\hat{u} = \sum_{k=1}^{\infty} \frac{1}{k} \varphi_k(x) \in L_2(0, \pi) \quad u^{(N)} = \sqrt[4]{N} \sum_{k=1}^N \frac{1}{k} \varphi_k(\cdot)$$

Легко показать, что $\|u^{(N)} - \sqrt[4]{N}\hat{u}\| \rightarrow 0$ при $N \rightarrow \infty$:

$$\|u^{(N)} - \sqrt[4]{N}\hat{u}\| = \sqrt[4]{N} \left\| \sum_{k=N+1}^{\infty} \frac{1}{k} \varphi_k(\cdot) \right\| = \sqrt[4]{N} \sum_{k=N+1}^{\infty} \frac{1}{k^2} \rightarrow 0$$

Докажем, что $u^{(N)} \in U[T, 0] = \{\hat{u} = S(T)u_0 \mid \|\mathcal{K}u_0\| \leq \mu\}$. Для этого достаточно показать, что существуют соответствующие функциям $u^{(N)}$ начальные условия $u_0^{(N)}$, такие, что $\|\mathcal{K}u_0\| \leq \mu$:

$$\begin{aligned} u_0^{(N)} &= \sqrt[4]{N} \sum_{k=1}^N \frac{1}{k} e^{\lambda_k T} \varphi_k(x) \mapsto u^{(N)} : \\ \mathcal{K}u_0^{(N)} &= \sqrt[4]{N} \left(e^{-\lambda_1 T - \lambda_1 t} e^{\lambda_1 T} + \sum_{k=2}^N e^{-\lambda_k T - \lambda_k t + \lambda_k T} \frac{1}{k} - \right. \\ &\quad \left. - \sum_{k=1}^{N-1} \frac{k+1}{k} e^{-\lambda_{k+1} T - \lambda_{k+1} t + \lambda_{k+1} T} \frac{1}{k+1} \right) = \sqrt[4]{N} \left(\sum_{k=1}^N \frac{1}{k} e^{-\lambda_k t} - \sum_{k=1}^{N-1} \frac{1}{k} e^{-\lambda_k t} \right) = \\ &= \sqrt[4]{N} \frac{1}{N} e^{-\lambda_N t} \end{aligned}$$

Таким образом, $\exists \mu : \|\mathcal{K}u_0^{(N)}\| \leq \mu \quad \forall N$ ч.т.д..

7 Идентификация параметров задачи

7.1 Задача идентификации источника загрязнения

Рассмотрим одномерное уравнение переноса с известными начальными данными и неизвестным источником загрязнения:

$$\begin{cases} u_t = u_{xx} + F(x, t) & 0 < x < l \quad 0 < t \leq T \\ u(0, t) = u(l, t) = 0 & 0 < t \leq T \\ u(x, 0) = 0 - \text{задано} \end{cases} \quad (59)$$

Часто правая часть имеет вид $F(x, t) = f(x) * Q(t)$, где одна из функций $f(\cdot) \in L_2(0, l)$, $Q(\cdot) \in L_2(0, T)$ задана, а вторая — неизвестна, и требуется ее идентифицировать. Для примера рассмотрим наблюдение с помощью точечного сенсора:

$$y(t) = u(\bar{x}, t) \quad 0 \leq t \leq T \quad (60)$$

Так как $u_0 = 0$, наблюдение имеет вид

$$y(t) = \int_0^t \sum_{i=1}^{\infty} e^{-\lambda_i(t-\tau)} Q(\tau) d\tau f_i \varphi_i(\bar{x}) dt \quad (61)$$

Покажем, что $\forall t \geq 0$ функция $u(x, t)$ непрерывна по x и t . При $t = 0$ u_0 непрерывна. При $t > 0$ имеет место

$$\begin{aligned} u(x, t) &= \sum_{i=1}^{\infty} \int_0^t e^{-\lambda_i(t-\tau)} Q(\tau) d\tau \cdot f_i \cdot \varphi_i(x) \\ |u(x, t)| &\leq \sum_{i=1}^{\infty} \int_0^t e^{-\lambda_i(t-\tau)} |Q(\tau)| d\tau \cdot |f_i| \cdot \sqrt{\frac{2}{l}} \leq \\ &\leq \sqrt{\frac{2}{l}} * \sqrt{\sum_{i=1}^{\infty} f_i^2} * \sqrt{\sum_{i=1}^{\infty} \left(\int_0^t e^{-\lambda_i(t-\tau)} |Q(\tau)| d\tau \right)^2} \leq \\ &\leq \sqrt{\frac{2}{l}} \|f\| \sqrt{\sum_{i=1}^{\infty} \int_0^t e^{-2\lambda_i(t-\tau)} d\tau \cdot \int_0^t Q^2(\tau) d\tau} \leq \\ &\leq \sqrt{\frac{2}{l}} \|f\| \sqrt{\sum_{i=1}^{\infty} \frac{1}{\lambda_i} \cdot \|Q(\cdot)\|_{L_2[0, T]}^2} < \infty \end{aligned}$$

Значит, $u(x, t)$ равномерно непрерывна как сумма непрерывных функций. Таким образом, $y(t)$ непрерывна. Уравнение (61) является уравнением Вольтерра 1 рода:

$$\int_0^t K(t, \tau) Q(\tau) d\tau = y(t), \quad \text{где } K(t, \tau) = \sum_{i=1}^{\infty} e^{-\lambda_i(t-\tau)} f_i \varphi_i(\bar{x}). \quad (62)$$

Теорема 7.1. Пусть $f \in C^2[0, l]$, $f(0) = f(l) = 0$, $f''(0) = f''(l) = 0$, $f(\bar{x}) \neq 0$. Тогда решение уравнения (62) единственно в классе $C[0, l]$.

Доказательство. Для доказательства единственности рассмотрим уравнение (62) с однородной правой частью. При заданных ограничениях на функцию f ряд $\sum_{i=1}^{\infty} \lambda_i^2 f_i^2$ сходится, следовательно, и $K(t, \tau)$, и $K_t(t, \tau)$ непрерывны в области $0 \leq \tau \leq t \leq T$. Продифференцируем уравнение (62) по t при $y = 0$:

$$K(t, t)Q(t) + \int_0^t K_t(t, \tau)Q(\tau) d\tau = 0, \quad K(t, t) = \sum_{k=1}^{\infty} f_k \varphi_k(\bar{x}) = f(\bar{x}) \neq 0$$

Здесь ряд для $K(t, t)$ сходится в силу непрерывности f . Мы получили уравнение Вольтерра 2 рода с непрерывным ядром, следовательно, решение в $C[0, l]$ существует и единственно ([1]).

Пример. Допустим, $x = l/2$, а $f(x) = -f(l - x)$ (четная относительно оси $x = l/2$). Тогда $K(t, \tau) \equiv 0$ и любая $Q(t)$ удовлетворяет уравнению.

7.1.2 Задача 2: $Q(\cdot)$ задана, $f(\cdot)$ — ?

Итак, требуется найти $f(x)$. Докажем, что, если уравнение наблюдения имеет вид (60), удовлетворяющая ему функция $f(\cdot)$ единственна. Для этого рассмотрим случай $y(t) \equiv 0$ и докажем, что ему соответствует только $f \equiv 0$. Наблюдение равно

$$\begin{aligned} y(t) &= \sum_{i=1}^{\infty} \int_0^t e^{-\lambda_i(t-\tau)} Q(\tau) d\tau \cdot f_i \varphi_i(\bar{x}) = \\ &= \sum_{i=1}^{\infty} \psi_i(t) \cdot f_i \varphi_i(\bar{x}) = 0 \end{aligned}$$

Необходимо, чтобы это уравнение имело только тривиальное решение. Рассмотрим частный случай: $Q(t) \equiv Q$, $\varphi_i(\bar{x}) \neq 0 \forall i$. Тогда можно вычислить функции ψ_i :

$$\begin{aligned} 0 &= \sum_{i=1}^{\infty} Q e^{-\lambda_i t} \frac{e^{\lambda_i t} - 1}{\lambda_i} f_i \varphi_i(\bar{x}) = \\ &= e^{0t} \sum_{i=1}^{\infty} Q \frac{1}{\lambda_i} f_i \varphi_i(\bar{x}) - \sum_{i=1}^{\infty} e^{-\lambda_i t} Q \frac{1}{\lambda_i} f_i \varphi_i(\bar{x}) = 0 \end{aligned}$$

Применяя прием перехода в комплексную плоскость и обратно (см. доказательство наблюдаемости системы с точечным сенсором), легко доказать следующую теорему:

Теорема 7.2. Пусть интенсивность $Q(t) \equiv Q$, и точка \bar{x} такова, что $\varphi_i(\bar{x}) \neq 0 \forall i$. Тогда задача (59)-(60) идентификации функции $f(x)$ имеет единственно решение.

7.2 Задача идентификации коэффициента атмосферной диффузии

Рассмотрим уравнение атмосферной диффузии с источником загрязнения интенсивности $Q(t)$, расположенном в точке $P = P_0$ где $P = P(x, y, z)$.

$$\frac{\partial u}{\partial t} = \mu \Delta u - \operatorname{div}(uv) + Q(t) \delta(P - P_0) \quad (63)$$

В окрестности точки P_0 диффузия примеси описывается уравнением (63). Однако вдали от источника загрязнения его влияние ослабевает, зато усиливается влияние посторонних примесей, которые взаимодействуют с нашей примесью. При $v \equiv 0$, если рассматривать задачу в области $0 < x < \infty$, изменение концентрации аэрозоли более точно описывает уравнение (64):

$$\frac{\partial u}{\partial t} = \mu \frac{\partial^2 u}{\partial x^2} + \int_0^T d\tau \int_0^\infty d\alpha K(t, x, \tau, \alpha) u(\tau, \alpha) \quad (64)$$

Здесь функция $K(t, x, \tau, \alpha)$ отвечает за химическое взаимодействие частиц.

Нас интересует коэффициент диффузии μ . Мы будем его оценивать на основе наблюдений. Наблюдения проводятся следующим образом:

$$y_i^{(j)} = u(t^{(j)}, x_i) + \xi_i^{(j)} \quad i = 1..M \quad j = 1..K \quad (65)$$

Необходимо вычислить, какое значение μ обеспечит минимум функционала $J(\mu, y)$:

$$J(\mu) = \sum_{i=1}^M \sum_{j=1}^K \left(u(t^{(j)}, x_i) - y_i^{(j)} \right)^2 \quad (66)$$

Уравнение наблюдения (65) и функционал (66) можно обобщить следующим образом: будем искать коэффициент диффузии, минимизирующий функционал

$$J(\mu) = \int_0^T \int_0^\infty (u(t, x) - y(t, x))^2 R(t, x) dx dt \quad (67)$$

$$\begin{cases} \frac{\partial u}{\partial t} = \mu \frac{\partial^2 u}{\partial x^2} + \int_0^T d\tau \int_0^\infty d\alpha K(t, x, \tau, \alpha) u(\tau, \alpha) & x > 0 \\ u|_{x=0} = 0 \\ u \rightarrow 0 \text{ при } x \rightarrow \infty \\ u|_{t=0} = u_0(x) \end{cases} \quad (68)$$

Для того, чтобы решить поставленную задачу, предположим, что искомый коэффициент диффузии равен $\mu_0 > 0$, и произведем его вариацию: $\mu = \mu_0 + \delta\mu$. Новому значению μ соответствует новое значение концентрации $u(t, x) = u_0(t, x) + \delta u(t, x)$. Тогда уравнение (68) примет вид:

$$\frac{\partial}{\partial t} \{u_0 + \delta u\} = \{\mu_0 + \delta\mu\} \frac{\partial^2}{\partial x^2} \{u_0 + \delta u\} + \int_0^T d\tau \int_0^\infty d\alpha K(t, x, \tau, \alpha) \{u_0 + \delta u\}$$

С учетом уравнения на μ_0 и u_0 имеем:

$$\begin{cases} \frac{\partial \delta u}{\partial t} = \frac{\partial^2 \delta u}{\partial x^2} \{\mu_0 + \delta\mu\} + \delta\mu \frac{\partial^2 u_0}{\partial x^2} + \int_0^T d\tau \int_0^\infty d\alpha K(t, x, \tau, \alpha) \delta u(\tau, \alpha) \\ \delta u|_{t=0} = 0 \quad \delta u|_{x=0} = 0 \quad \delta u \rightarrow 0 \text{ при } x \rightarrow \infty \end{cases} \quad (69)$$

Для функционала J имеем

$$J(\mu_0 + \delta\mu) - J(\mu_0) = \int_0^T dt \int_0^\infty dx 2R(t, x) (u_0(t, x) - y(t, x)) \delta u(t, x) + \int_0^T dt \int_0^\infty dx R(t, x) (\delta u(t, x))^2 \quad (70)$$

Рассмотрим уравнение, сопряженное к (68):

$$\begin{cases} \frac{\partial p}{\partial t} = -\mu_0 \frac{\partial^2 p}{\partial x^2} + \int_0^T d\tau \int_0^\infty d\alpha K(\tau, \alpha, t, x) p(\tau, \alpha) + 2R(t, x)(u_0(t, x) - y(t, x)) & x > 0 \\ p(x, T) = 0 & p(0, t) = 0 & p(x, t) \rightarrow 0 \text{ при } x \rightarrow \infty \end{cases} \quad (71)$$

Тогда если умножить уравнение (69) на решение сопряженного уравнения (71) и проинтегрировать, имеем

$$\begin{aligned} 0 &= \int_0^T dt \int_0^\infty dx p(t, x) \left\{ \frac{\partial \delta u}{\partial t} - \frac{\partial^2 \delta u}{\partial x^2} \mu_0 - \frac{\partial^2 \delta u}{\partial x^2} \delta \mu - \delta \mu \frac{\partial^2 u_0}{\partial x^2} - \int_0^T d\tau \int_0^\infty d\alpha K(t, x, \tau, \alpha) \delta u(\tau, \alpha) \right\} = \\ &= -\delta \mu \int_0^T dt \int_0^\infty dx p \frac{\partial^2}{\partial x^2} \delta u - \delta \mu \int_0^T dt \int_0^\infty dx p \frac{\partial^2}{\partial x^2} u_0 - 2 \int_0^T dt \int_0^\infty dx R(t, x) \{u_0(t, x) - y(t, x)\} \delta u \end{aligned}$$

Необходимо, чтобы вариация функционала была положительна. Используем полученное нами равенство, подставив его в выражение (70) для вариации J :

$$\delta J(\mu_0) = -\delta \mu \int_0^T dt \int_0^\infty dx p \frac{\partial^2}{\partial x^2} \delta u - \delta \mu \int_0^T dt \int_0^\infty dx p \frac{\partial^2}{\partial x^2} u_0 - \int_0^T dt \int_0^\infty dx R(t, x) (\delta u(t, x))^2 \geq 0$$

Первый и третий член имеют второй порядок малости. Необходима положительность второго члена для любой достаточно малой вариации μ . Так как $\delta \mu$ может иметь любой знак,

Теорема 7.3. Пусть $\mu_0 \neq 0$ доставляет минимум функционалу J (66) $\Rightarrow \int_0^T dt \int_0^\infty dx p \frac{\partial^2}{\partial x^2} u_0 = 0$.

8 Проблема регуляризации задачи наблюдения

8.1 Регуляризация на фиксированном временном промежутке

8.1.1 Постановка задачи и основные определения

Итак, мы рассматриваем следующую задачу:

$$\begin{cases} u_t = \Delta u, & x \in \Omega, 0 < t \leq T \\ u|_{\partial\Omega} = 0 \\ u|_{t=0} = u_0 \end{cases} \quad (72)$$

$$y = \mathbf{G}u(\cdot, \cdot; u_0) + \xi \quad y, \xi \in \mathcal{Y} \quad (73)$$

Как было отмечено в параграфе 6.1.2, при всех рассмотренных операторах наблюдения множество $U[0, y]$ оказывается неограниченным. Это обусловлено характером параболического уравнения. В силу сглаживания решения прямой задачи при разрешении обратной задачи малые помехи приводят к большим вариациям оцениваемого начального состояния.

Пусть информационное множество $U[0, y]$ неограничено. Тогда поставим следующую задачу:

$$(P) \quad \text{Требуется найти хотя бы один элемент } u_0 \in U[0, y] \text{ то есть } u_0 : (72) - (74)$$

Итак, требуется найти $u_0 : \|y - \mathbf{G}u(\cdot, \cdot; u_0)\| \leq \mu$. Эта задача также является некорректно поставленной, следовательно, необходима ее регуляризация.

Рассмотрим линейный оператор $\mathcal{R}_\varepsilon \in L(\mathcal{Y}, L_2(\Omega))$, непрерывно зависящий от ε в смысле операторной нормы.

В качестве решения задачи (P) будем рассматривать $u_0 = \mathcal{R}_\varepsilon(y)$.

Определение. Функционал \mathcal{R}_ε **регуляризует (P) по функционалу**, если для любого зафиксированного $\hat{u}_0 \exists \varepsilon_0 : \forall 0 < \varepsilon \leq \varepsilon_0 \Rightarrow \mathcal{R}_\varepsilon(y) \in U[0, y]$.

Определение. Функционал \mathcal{R}_ε **регуляризует (P) по аргументу**, если для любого зафиксированного \hat{u}_0 существует функция $\varepsilon(\mu)$: при $\mu \rightarrow 0$, $\varepsilon(\mu) \rightarrow 0$, если измерения производятся в соответствии с уравнением $y_\mu = \mathbf{G}u(\cdot, \cdot; \hat{u}_0) + \xi$, $\|\xi\|_Y \leq \mu$, то $\mathcal{R}_\varepsilon(y) \rightarrow \hat{u}_0$.

Приведем пример регуляризатора.

Метод регуляризации Тихонова:

$$\mathcal{R}_\varepsilon^T(y) = \operatorname{argmin}_{u_0 \in L_2(\Omega)} \{ \varepsilon^2 \|u_0\|_{L_2(\Omega)}^2 + \|y - \mathbf{G}u(\cdot, \cdot, u_0)\|_Y^2 \}$$

Пример. Посмотрим, чему равен регуляризатор Тихонова в случае финального наблюдения: $y = S(T)u_0 + \xi$ т.е. $\mathbf{G}u(\cdot, \cdot) = u(\cdot, T)$

$$\begin{aligned} \Rightarrow \mathcal{R}_\varepsilon^T &= \operatorname{argmin} \{ \varepsilon^2 \langle u_0, u_0 \rangle + \langle y - S(T)u_0, y - S(T)u_0 \rangle \} = \\ &= \operatorname{argmin} \{ \langle u_0, [\varepsilon^2 \mathcal{E} + S^*(T)S(T)]u_0 \rangle + \langle y, y \rangle - 2 \langle y, S(T)u_0 \rangle \} \end{aligned}$$

Обозначим $\mathcal{H}_\varepsilon = \varepsilon^2 \mathcal{E} + S^*(T)S(T)$, где \mathcal{E} - единичный оператор.

$$\begin{aligned} \Rightarrow \mathcal{R}_\varepsilon^T &= \operatorname{argmin} \{ \langle u_0 - \mathcal{H}_\varepsilon^{-1}S^*(T)y, \mathcal{H}_\varepsilon[u_0 - \mathcal{H}_\varepsilon^{-1}S^*(T)y] \rangle + \gamma \} = \\ &= \mathcal{H}_\varepsilon^{-1}S^*(T)y \end{aligned}$$

Можно доказать, что при $\mu \rightarrow 0$ и $\frac{\varepsilon}{\mu^2} \rightarrow 0$ \mathcal{K}_ε будет регуляризатором по аргументу и по функционалу. При $\varepsilon^2 = 0$ \mathcal{H}_ε был бы необратим, так как, как мы ранее доказывали, $U[0, y]$ - неограниченное множество.

Пример. Приведем еще один пример регуляризирующего функционала.

Пусть есть некоторый набор коэффициентов Фурье: $(u_1, u_2, \dots, u_n, \dots) \in l_2$, который нам неизвестен, зато задан набор приближений этих коэффициентов $(\tilde{u}_1, \tilde{u}_2, \dots, \tilde{u}_n, \dots) \in l_2$, причем $\|\tilde{u} - u\|^2 = \sum_{i=1}^{\infty} (\tilde{u}_i - u_i)^2 \leq \delta^2$.

Можно построить приближенное решение: $\sum_{i=1}^{\infty} \tilde{u}_i \varphi_i(x) = \tilde{u}$. Его норма в L_2 будет отличаться от нормы точного решения $\sum_{i=1}^{\infty} u_i \varphi_i(x) = u$ не более чем на δ . Однако если мы хотим, чтобы u и \tilde{u} были близки по норме C , необходима регуляризация.

Покажем это. Пусть $\tilde{u}_i = u_i + \frac{\varepsilon}{i}$. Это допустимо, так как ряд $\sum_{i=1}^{\infty} \frac{\varepsilon^2}{i^2} < \infty$. Но по норме в $C(0, \pi)$

$$\|\tilde{u} - u\|_C = \max_{[0, \pi]} |\tilde{u} - u| = \max_{[0, \pi]} \left| \sum_{k=1}^{\infty} \varphi_k(x) \frac{\varepsilon}{k} \right| = \{\varphi_k(x) = \cos kx\} = \varepsilon \max_{[0, \pi]} \left| \sum_{k=1}^{\infty} \frac{\cos kx}{k} \right| = \infty$$

Таким образом, составленный нами ряд может оказаться как угодно далек от приближаемого по норме в C . Рассмотрим следующий метод регуляризации:

$$\tilde{u} = \sum_{i=1}^N \tilde{u}_i \varphi_i(x) \text{ где } N = \left[\frac{\eta(\delta)}{\delta^2} \right], \text{ где } \eta(\delta) : \eta(\delta) \rightarrow 0 \text{ при } \delta \rightarrow 0 \text{ и } \frac{\eta(\delta)}{\delta^2} \rightarrow \infty \text{ при } \delta \rightarrow 0$$

Тогда

$$\begin{aligned} \|\tilde{u} - u\|_C &= \left\| \sum_{i=1}^{\infty} u_i \varphi_i - \sum_{i=1}^N \tilde{u}_i \varphi_i \right\|_C \leq \left\| \sum_{i=1}^N (u_i - \tilde{u}_i) \varphi_i \right\|_C + \left\| \sum_{i=N+1}^{\infty} u_i \varphi_i \right\|_C \leq \{\text{Нер-во Коши-Буняковского}\} \\ &\leq \sqrt{\sum_{i=1}^N (u_i - \tilde{u}_i)^2} \cdot \max_{[0, \pi]} \sqrt{\left| \sum_{i=1}^N \varphi_i^2(\cdot) \right|} + \left\| \sum_{i=N+1}^{\infty} u_i \varphi_i(\cdot) \right\|_C \leq \delta \sqrt{N} + \left\| \sum_{i=N+1}^{\infty} u_i \varphi_i(\cdot) \right\|_C \end{aligned}$$

Если вспомнить теперь, что $N = \left[\frac{\eta(\delta)}{\delta^2} \right]$, ясно, что первое слагаемое стремится к 0 по определению $\eta(\cdot)$, а второе слагаемое — в силу сходимости этого ряда в C .

Упражнение 17. Покажите, где здесь оператор \mathcal{R}_ε , где здесь параметр регуляризации ε и объясните, регуляризирует ли \mathcal{R}_ε задачу по аргументу.

Покажем, что с помощью оператора регуляризации можно решить не только задачу (P) (с. 48), но и задачу нахождения оценки информационного множества $U_\varepsilon[0, y]$. Заменяем в задаче (72)-(74) ограничение (74) на ограничение следующего вида:

$$\varepsilon^2 \|u_0\|^2 + \|\xi\|^2 \leq \mu^2 + \gamma_\varepsilon^2 \quad (75)$$

где γ_ε выбран достаточно большим, чтобы реальные y , ξ , u_0 из (72)-(74) удовлетворяли (75). Для задачи (72), (73), (75) информационное множество $U_\varepsilon[0, y]$ будет выпукло, ограничено, замкнуто и будет являться эллипсоидом с центром $u_\varepsilon^* = \mathcal{R}_\varepsilon^T(y) = \mathcal{H}_\varepsilon^{-1} S^*(T)y$:

$$U_\varepsilon[0, y] = \left\{ u_0 \mid \langle u_0 - u_\varepsilon^*, \mathcal{H}_\varepsilon(u_0 - u_\varepsilon^*) \rangle \leq \mu^2 + \gamma_\varepsilon^2 - \langle y, y \rangle + \langle \mathcal{H}_\varepsilon^{-1} S^*(T)y, S^*(T)y \rangle \right\}$$

Таким образом, вместо задачи (P) мы можем решать задачу (P_ε) нахождения $U[0, y]$ для (72), (73), (75).

Перечислим еще несколько методов регуляризации:

1. Метод Квазирешений Иванова

$$\mathcal{R}_\varepsilon^I = \operatorname{argmin}_{\|u_0\|_{L_2} \leq \frac{1}{\varepsilon}} \{ \|y - \mathbf{G}u(\cdot, \cdot; u_0)\| \}$$

2. Метод невязки :

$$\mathcal{R}_\varepsilon^H = \operatorname{argmin}_{\|y - \mathbf{G}u(\cdot, \cdot; u_0)\| \leq \varepsilon} \|u_0\|$$

Теорема 8.1.

1) $\mathcal{R}_\varepsilon^T(y) = \mathcal{R}_{\bar{\varepsilon}}^H(y)$ при $\bar{\varepsilon} = \|y - \mathbf{G}u(\cdot, \cdot; \mathcal{R}_\varepsilon^T(y))\|$, если $\min \|u_0\|$ не достигается внутри шара $\|y - \mathbf{G}u\| \leq \bar{\varepsilon}$.

2) $\mathcal{R}_\varepsilon^T(y) = \mathcal{R}_{\bar{\varepsilon}}^I(y)$ при $\bar{\varepsilon} = \|\mathcal{R}_\varepsilon^T(y)\|^{-1}$

Определение. Обобщенным регуляризатором называется оператор

$$\mathcal{R}_\varepsilon(y) = \operatorname{argmin}_{u_0 \in L_2(\Omega)} \{ \langle u_0, \mathcal{N}_\varepsilon u_0 \rangle_{L_2(\Omega)} + \langle y - \mathbf{G}u(\cdot, \cdot; u_0), \mathcal{M}_\varepsilon(y - \mathbf{G}u(\cdot, \cdot; u_0)) \rangle_y \}$$

где

1. $\mathcal{N}_\varepsilon \in \mathcal{L}(L_2(\Omega))$, $\mathcal{M}_\varepsilon \in \mathcal{L}(\mathcal{Y})$
2. \mathcal{N}_ε и \mathcal{M}_ε непрерывно зависят от ε в операторной норме
3. $\exists \mathcal{N}_\varepsilon^{-1} \in \mathcal{L}(L_2(\Omega))$
4. $\mathcal{N}_\varepsilon, \mathcal{M}_\varepsilon \geq 0$

$\Rightarrow \exists! \mathcal{R}_\varepsilon(y)$ - непрерывный по $y \forall \varepsilon > 0$

Рассмотренные нами $\mathcal{R}_\varepsilon^T(y)$, $\mathcal{R}_\varepsilon^{\text{II}}$, $\mathcal{R}_\varepsilon^H$ - частные случаи этого функционала:

- Метод Тихонова: $\mathcal{N}_\varepsilon = \varepsilon^2 \mathcal{E}$, $\mathcal{M}_\varepsilon = \mathcal{E}_Y$, где \mathcal{E}_Y — тождественный оператор в \mathcal{Y} .
- Метод невязки: $\mathcal{N}_\varepsilon = \mathcal{E}$, $\mathcal{M}_\varepsilon = \beta(\varepsilon) \mathcal{E}_Y$ где $\beta(\varepsilon)$ равно $\frac{1}{\varepsilon}$
- Метод Иванова: $\inf_{u_0} \|y - \mathbf{G}u(\cdot, \cdot; u_0)\|$ не достигается $\Rightarrow \mathcal{N}_\varepsilon = \alpha(\varepsilon) \mathcal{E}$, $\mathcal{M}_\varepsilon = \mathcal{E}_Y$

Итак, мы рассматриваем обобщенный регуляризатор

$$\mathcal{R}_\varepsilon(y) = \operatorname{argmin}_{u_0 \in L_2(\Omega)} \left\{ \langle u_0, \mathcal{N}_\varepsilon u_0 \rangle_{L_2(\Omega)} + \langle y - \mathbf{G}u(\cdot, \cdot; u_0), \mathcal{M}_\varepsilon(y - \mathbf{G}u(\cdot, \cdot; u_0)) \rangle_Y \right\} \quad (76)$$

В силу квадратичного характера выражения (76) значение оператора можно вычислить явно:

$$\mathcal{R}_\varepsilon(y(\cdot)) = (\mathcal{N}_\varepsilon + \mathcal{K}^* \mathcal{M}_\varepsilon \mathcal{K})^{-1} \mathcal{K}^* \mathcal{M}_\varepsilon y(\cdot) \quad (77)$$

Пример. Выпишем значение оператора регуляризации (76) для случая “финального наблюдения” в R^1 :

$$y(x) = u(x, T) + \xi(x) = \mathcal{K}u_0 + \xi \quad 0 < x < l \quad \mathcal{Y} = L_2(0, l)$$

Значит, по определению оператора $S(t)$ (см. с. 38)

$$\mathcal{K} = S(T) = \mathcal{K}^* \text{ (последнее выполнено так как задача (72) — самосопряженная)}$$

Рассмотрим операторы \mathcal{N}_ε и \mathcal{M}_ε , такие, что

$$\mathcal{N}_\varepsilon u = \sum_{i=1}^{\infty} n_\varepsilon^i u^i \varphi_i(x) \quad \mathcal{M}_\varepsilon y = \sum_{i=1}^{\infty} m_\varepsilon^i y^i \varphi_i(x)$$

где u^i — коэффициенты элемента $u \in L_2(0, l)$ в разложении Фурье (по аналогии с (37)):

$$u(\cdot) = \sum_{i=1}^{\infty} u^i \varphi_i(\cdot)$$

Тогда результат регуляризации есть

$$\mathcal{R}_\varepsilon(y) = \sum_{i=1}^{\infty} (n_\varepsilon^i + e^{-\lambda_i T} m_\varepsilon^i e^{-\lambda_i T})^{-1} e^{-\lambda_i T} m_\varepsilon^i y^i \varphi_i(x)$$

(Ясно, что если $\mathcal{R}u = \sum_{i=1}^{\infty} r^i u^i \varphi_i(\cdot)$, то $\mathcal{R}^{-1}u = \sum_{i=1}^{\infty} (r^i)^{-1} u^i \varphi_i(\cdot)$.)

Рассмотрим еще один метод регуляризации, состоящий в том, что происходит модификация не ограничения, а самой задачи.

8.1.3 Метод квазиобращения Лионса-Латтеса

В качестве сенсора рассматривается “финальное наблюдение”. Для простоты рассмотрим одномерную задачу с $l = \pi$.

$$\begin{cases} u_t = u_{xx} & 0 < x < \pi, \ 0 < t \leq T \\ u(0, t) = u(\pi, t) = 0 & 0 < t \leq T \\ u(x, 0) = u_0 & - ? \\ y = u(x, T) + \xi \\ \|\xi\|_{L_2(0, \pi)} \leq \mu \end{cases} \quad (78)$$

Заменим ее на задачу в обратном времени

$$\begin{cases} u_t = u_{xx} + \varepsilon u_{xxxx} & 0 < x < \pi, \ 0 < t \leq T \\ u(0, t) = u(\pi, t) = 0 \\ u_{xx}(0, t) = u_{xx}(\pi, t) = 0 \\ u(x, T) = y(x) \end{cases} \quad (79)$$

— результат финального наблюдения

и возьмем в качестве значения оператора регуляризации

$$\mathcal{R}_\varepsilon(y) = u(x, 0), \text{ где } u \text{ — решение задачи (79)}$$

Для вычисления \mathcal{R}_ε необходимо решить (79) в обратном времени.

Будем искать решение в виде

$$u(x, t) = \sum_{k=1}^{\infty} u_k(t) \varphi_k(x) \text{ где } \varphi_k(x) = \sqrt{\frac{2}{\pi}} \sin kx$$

Тогда имеем на $u_k(t)$ следующее ОДУ

$$\begin{cases} u'_k(t) = -k^2 u_k(t) + \varepsilon k^4 u_k(t) & 0 < t \leq T \\ u_k(T) = y^k \end{cases}$$

Решением этого линейного уравнения будет функция $u_k(t) = e^{(-k^2 + \varepsilon k^4)(t-T)} y^*$, что позволяет выписать решение системы (79):

$$u(x, t) = \sum_{k=1}^{\infty} y^k e^{(-k^2 + \varepsilon k^4)(t-T)} \varphi_k(x)$$

Отсюда

$$\mathcal{R}_\varepsilon(y) = \sum_{k=1}^{\infty} y_k e^{(k^2 - \varepsilon k^4)T} \varphi_k(x) \quad (80)$$

Докажем теперь, что оператор (80) является регуляризатором по аргументу. Рассмотрим

$$y(x) = u(x, T; \hat{u}_0) + \xi(x) = \sum_{k=1}^{\infty} \hat{u}_0^k e^{-k^2 T} \varphi_k(x) + \sum_{k=1}^{\infty} \xi^k \varphi_k(x)$$

где \hat{u}_0 фиксировано. Докажем, что $\mathcal{R}_\varepsilon(y) \rightarrow \hat{u}_0$:

$$\begin{aligned} \|\mathcal{R}_\varepsilon - \hat{u}_0\| &= \left\| \sum_{k=1}^{\infty} \hat{u}_0^k e^{-k^2 T} e^{(k^2 - \varepsilon k^4)T} \varphi_k(\cdot) + \sum_{k=1}^{\infty} \xi^k e^{(k^2 - \varepsilon k^4)T} \varphi_k(\cdot) - \sum_{k=1}^{\infty} \hat{u}_0^k \varphi_k(\cdot) \right\|_{L_2(0, \pi)} = \\ &= \left\| \sum_{k=1}^{\infty} (\hat{u}_0^k e^{-\varepsilon k^4 T} - \hat{u}_0^k) \varphi_k(\cdot) + \sum_{k=1}^{\infty} \xi^k e^{(k^2 - \varepsilon k^4)T} \varphi_k(\cdot) \right\|_{L_2(0, \pi)} \leq \\ &\leq \sqrt{\sum_{k=1}^{\infty} (\hat{u}_0^k)^2 (1 - e^{-\varepsilon k^4})^2} + \sqrt{\sum_{k=1}^{\infty} (\xi^k)^2 e^{2T(-\varepsilon k^4 + k^2)}} \end{aligned}$$

Покажем, что оба слагаемых стремятся к 0. Рассмотрим произвольное $\delta > 0$. Покажем, что можно выбрать ε и μ так, что $\|\mathcal{R}_\varepsilon - \hat{u}_0\| < 3\delta$. Так как \hat{u}_0 зафиксировано, а $\sum_{k=1}^{\infty} (\hat{u}_0^k)^2 < \infty$, существует номер $N = N(\delta)$ такой, что $\sum_{k=N+1}^{\infty} (\hat{u}_0^k)^2 < \delta^2$. Тогда $\sum_{k=N+1}^{\infty} (\hat{u}_0^k)^2 (1 - e^{-\varepsilon k^4})^2 < \delta^2$, а $\sum_{k=1}^N (\hat{u}_0^k)^2 (1 - e^{-\varepsilon k^4})^2 \rightarrow 0$ при $\varepsilon \rightarrow 0$. Значит, можно выбрать ε так, что $\sum_{k=1}^N$ тоже меньше δ^2 . Итак, имеем:

$$\|\mathcal{R}_\varepsilon - \hat{u}\| < \sqrt{2}\delta + \mu \sqrt{\max_k e^{2(-\varepsilon k^4 + k^2)T}}$$

Вычислим производную функции $f(x) = e^{2(-\varepsilon x^4 + x^2)T}$.

$$\begin{aligned} f' &= 2T e^{2(-\varepsilon x^4 + x^2)T} (-4\varepsilon x^3 + 2x) = 4T e^{2(-\varepsilon x^4 + x^2)T} x (-2\varepsilon x^2 + 1) \rightarrow 0 \text{ при } x \rightarrow \infty, \\ f' &= 0 \Leftrightarrow x = 0 \quad x = \pm \sqrt{\frac{1}{2\varepsilon}} \end{aligned}$$

Следовательно, $\max_k f(k) \leq f(\sqrt{\frac{1}{2\varepsilon}}) = e^{\frac{T}{2\varepsilon}}$. Мы доказали следующую теорему:

Теорема 8.2. При $\mu \rightarrow 0$, $\varepsilon \rightarrow 0$, $e^{4\varepsilon}\mu \rightarrow 0$ выполнено $\|\mathcal{K}_\varepsilon(y) \rightarrow u_0\|$. Следовательно, оператор Лионса-Латтеса является регуляризатором по аргументу.

Проинтерпретируем теперь полученные результаты с помощью введенного ранее обобщенного регуляризатора. Дадим несколько определений.

Рассмотрим следующие задачи:

$$(P) \begin{cases} u_t = a^2 u_{xx} & 0 < x < l, \ 0 < t \leq T \\ u(0, t) = u(l, t) = 0 \\ u(x, 0) = u_0 \\ y = \mathbf{G}u(\cdot, \cdot; u_0) + \xi \\ \|\xi\|_{\mathcal{Y}} \leq \mu \\ u_0 \in U[0, y] \end{cases}$$

$$(P_\varepsilon) \begin{cases} u_t = a^2 u_{xx} & 0 < x < l, \ 0 < t \leq T \\ u(0, t) = u(l, t) = 0 \\ u(x, 0) = u_0 \\ y = \mathbf{G}u(\cdot, \cdot; u_0) + \xi \\ \langle u_0, \mathcal{N}_\varepsilon u_0 \rangle_{L_2(\Omega)} + \langle \xi, \mathcal{M}_\varepsilon \xi \rangle_{\mathcal{Y}} \leq \mu^2 + \gamma_\varepsilon \\ u_\varepsilon^* \in U_\varepsilon[0, y] \text{ ищем центр} \\ \mathcal{R}_\varepsilon(y(\cdot)) = u_\varepsilon^* = (\mathcal{N}_\varepsilon + \mathcal{K}^* \mathcal{M}_\varepsilon \mathcal{K})^{-1} \mathcal{K}^* \mathcal{M}_\varepsilon y \end{cases}$$

Это u_ε^* является **гарантированной оценкой** начального распределения u_0 по наблюдению y при ограничении

$$\langle u_0, \mathcal{N}_\varepsilon u_0 \rangle_{L_2(\Omega)} + \langle \xi, \mathcal{M}_\varepsilon \xi \rangle_{\mathcal{Y}} \leq \mu^2 + \gamma_\varepsilon \quad (81)$$

Элемент u_ε^* также является **минимаксной оценкой** начального распределения по наблюдению y при ограничении (81):

$$\min_{v \in L_2(0, l)} \max_{u_0 \in U_\varepsilon[0, y]} \|v - u_0\| = \max_{u_0 \in U_\varepsilon[0, y]} \|u_\varepsilon^* - u_0\|$$

(она является чебышевским центром).

Определение. Элемент v^* называется **чебышевским центром** множества $P \in \mathcal{P}$, если

$$\min_{v \in \mathcal{P}} \max_{u \in P} \|v - u\| = \sup_{u \in P} \|v^* - u\|$$

Определение. Задача (P_ε) называется **регуляризующей** для (P) , если для зафиксированного \hat{u}_0 существует функция $\varepsilon = \varepsilon(\mu)$ такая что если последовательно проводить наблюдения $y_\mu = \mathbf{G}u(\cdot, \cdot; \hat{u}_0) + \xi_\mu$ с помехой $\|\xi\|_{\mathcal{Y}} \leq \mu$, то при $\varepsilon \rightarrow 0$ и $\mu \rightarrow 0 \Rightarrow \mathcal{R}_\varepsilon(y_\mu) \rightarrow \hat{u}_0$.

$$\mathcal{R}_\varepsilon^{(\mathbf{J}\mathbf{I})}(y) = \sum_{k=1}^{\infty} e^{(-\varepsilon^2 \lambda_k^2 + \lambda_k)T} y^k \varphi_k(\cdot)$$

Теорема 8.3. Рассмотрим (P_ε) : в ограничении (81)

$$\mathcal{N}_\varepsilon u_0 = \sum_{k=1}^{\infty} (1 - e^{-\lambda_k^2 T \varepsilon}) u_0^k \varphi_k(\cdot) \quad \mathcal{M}_\varepsilon \xi = \sum_{k=1}^{\infty} e^{(-\varepsilon \lambda_k^2 + 2\lambda_k)T} \xi^k \varphi_k(\cdot) \Rightarrow \mathcal{R}_\varepsilon(y) = \mathcal{R}_\varepsilon^{(\mathbf{J}\mathbf{I})}(y).$$

(хотя метод Лионса не есть минимизация!)

Доказательство. Выпишем $\mathcal{R}_\varepsilon(y)$ явно, используя представление (77):

$$\mathcal{R}_\varepsilon(y) = \sum_{k=1}^{\infty} \left[1 - e^{-\varepsilon \lambda_k^2 T} + e^{-\lambda_k T} e^{(-\varepsilon \lambda_k^2 + 2\lambda_k)T} e^{-\lambda_k T} \right]^{-1} e^{-\lambda_k T} e^{(-\varepsilon \lambda_k^2 + 2\lambda_k)T} y^k \varphi_k(\cdot) = \mathcal{R}_\varepsilon^{(\mathbf{J}\mathbf{I})}(y)$$

Легко показать, что введенные в теореме операторы \mathcal{N}_ε и \mathcal{M}_ε удовлетворяют необходимым требованиям положительности, а \mathcal{N}_ε имеет непрерывный обратный оператор

$$N_\varepsilon^{-1} u = \sum_{k=1}^{\infty} (1 - e^{-\lambda_k^2 T \varepsilon})^{-1} u^k \varphi_k(\cdot)$$

в силу $1 - e^{-\lambda_1^2 T \varepsilon} \leq 1 - e^{-\lambda_k^2 T \varepsilon} \leq 1$.

8.1.4 Метод Гаевского-Захариаса

Рассмотрим еще один метод регуляризации, также состоящий в модификации самой задачи. В отличие от метода Лионса-Латтеса, исходная задача (82) здесь сводится к задаче (83), разрешимой не только к обратном, но и в прямом времени. Как и раньше, для простоты задача рассматривается в R^1 .

$$\begin{cases} u_t = a^2 u_{xx} & 0 < x < l, \ 0 < t \leq T \\ u(0, t) = u(l, t) = 0 & 0 < t \leq T \\ u(x, 0) = u_0 & - ? \\ y = u(x, T) + \xi \\ \|\xi\|_{L_2(0, l)} \leq \mu \end{cases} \quad (82)$$

Заменим ее на следующую задачу в обратном времени

$$\begin{cases} u_t = a^2 u_{xx} + \varepsilon u_{xxt} & 0 < x < l, \ 0 < t \leq T \\ u(0, t) = u(l, t) = 0 \\ u(x, T) = y(x) & \text{— результат финального наблюдения} \end{cases} \quad (83)$$

$$\mathcal{R}_\varepsilon(y) = u(x, 0), \text{ где } u \text{ — решение задачи (83)}$$

Будем искать решение в виде ряда Фурье. Проводя рассуждения, аналогичные рассуждениям в параграфе 8.1.3, имеем:

$$\begin{aligned} u(x, t) &= \sum_{k=1}^{\infty} u_k(t) \varphi_k(x) \\ \begin{cases} u'_k(t) = -\lambda_k u_k(t) - \varepsilon \lambda_k u'_k(t) & 0 < t \leq T \\ u_k(T) = y^k \end{cases} &\Rightarrow \\ \Rightarrow u_k(t) &= e^{\frac{-\lambda_k}{1+\varepsilon\lambda_k}(t-T)} y^k \Rightarrow \\ \Rightarrow u(x, t) &= \sum_{k=1}^{\infty} y^k e^{\frac{-\lambda_k}{1+\varepsilon\lambda_k}(t-T)} \varphi_k(x) \Rightarrow \end{aligned}$$

Отсюда

$$\mathcal{R}_\varepsilon(y) = \sum_{k=1}^{\infty} y_k e^{\frac{-\lambda_k}{1+\varepsilon\lambda_k}(-T)} \varphi_k(x) \quad (84)$$

Докажем, что оператор (84) является регуляризатором по аргументу. Рассмотрим фиксированное \hat{u}_0 . В силу $\exp(\frac{\lambda_k T}{1+\varepsilon\lambda_k} - \lambda_k T) = \exp(-\frac{\varepsilon\lambda_k T}{1+\varepsilon\lambda_k})$ имеем:

$$\|\mathcal{R}_\varepsilon - \hat{u}_0\| \leq \sqrt{\sum_{k=1}^{\infty} (\hat{u}_0^k)^2 (1 - e^{\frac{-\lambda_k T \varepsilon}{1+\varepsilon\lambda_k}})^2} + \sqrt{\sum_{k=1}^{\infty} (\xi^k)^2 e^{\frac{2\lambda_k T}{1+\varepsilon\lambda_k}}}$$

Аналогично параграфу 8.1.3, имеем: первое слагаемое стремится к 0. Второе слагаемое можно оценить следующим образом

$$\sqrt{\sum_{k=1}^{\infty} (\xi^k)^2 e^{\frac{\lambda_k T}{1+\varepsilon\lambda_k}}} \leq \mu \max_k e^{\frac{\lambda_k T}{1+\varepsilon\lambda_k}} \leq e^{\frac{T}{\varepsilon}} \mu$$

Теорема 8.4. При $\mu \rightarrow 0$, $\varepsilon \rightarrow 0$, $e^{\frac{T}{\varepsilon}} \mu \rightarrow 0$ выполнено $\|\mathcal{R}_\varepsilon(y) \rightarrow \hat{u}_0\|$. Следовательно, оператор Гаевского-Захариаса является регуляризатором по аргументу.

Упражнение 18. Выписать самостоятельно операторы \mathcal{N}_ε , \mathcal{M}_ε аналогичные операторам из главы 8.1.3.

8.2.1 Уравнения минимаксного фильтра

Рассмотрим систему

$$\begin{cases} u_t = Du + Bf, & x \in \Omega, t > 0, \\ u|_{t=0} = u_0, \\ u|_{\partial\Omega} = 0 \\ y(t) = G(t)u(\cdot, t) + \xi(t). \end{cases} \quad (85)$$

Здесь f - неизвестная правая часть, u_0 - начальное состояние, $\xi(t)$ — помеха. Допустим, что мы хотим получить оценку состояния системы в момент T . Ранее мы рассматривали задачу при $f = 0$ и ограничение

$$F(T) = \|\xi\|_{\mathcal{Y}}^2 + \varepsilon^2 \|u_0\|_{L_2(\Omega)}^2 \leq \mu^2 + \gamma_\varepsilon$$

Гарантированная оценка u_0^* доставляла минимум функционала $F(T)$ и вычислялась по формуле

$$u_0^* = u_0^*(T) = (\varepsilon^2 \mathcal{E} + \mathcal{K}^* \mathcal{K})^{-1} \mathcal{K}^* y \quad (86)$$

Вычислив информационное множество регуляризующей задачи $U_\varepsilon[0, y]$, можно получить оценки состояния системы $u(x, T)$ по формуле

$$U_\varepsilon[T, y] = S(T)U_\varepsilon[0, y] \quad U_\varepsilon[0, y] = \{u_0 \mid \exists \xi(\cdot) \in \mathcal{Y} : F(T) \leq \mu^2 + \gamma_\varepsilon\}$$

Здесь информационное множество $U_\varepsilon[0, y]$ является эллипсоидом с центром u_0^* . Однако, если мы вычислили u_0^* и $U_\varepsilon[0, y]$ на основе наблюдений, произведенных на отрезке времени $[0, T]$, и поступили новые данные наблюдений на отрезке $[T, T + \Delta t]$, приходится снова вычислять все операторы в выражении (86). В данной главе мы постараемся получить динамическую по T оценку состояния системы.

Допустим, что информация на момент времени T описывается следующим неравенством:

$$\begin{aligned} F(T) &= \langle \xi, \mathcal{M}\xi \rangle_{\mathcal{Y}} + \langle u_0, \mathcal{N}u_0 \rangle_{L_2(\Omega)} + \langle f, \mathcal{R}f \rangle_{L_2(\Omega, [0, T])} = \\ &= \langle y - G(t)S(t)u_0 - G(t) \int_0^t S(t, \tau)Bf(\tau)d\tau, \mathcal{M}(y - G(t)S(t)u_0 - G(t) \int_0^t S(t, \tau)Bf(\tau)d\tau) \rangle_{L_2(\mathcal{Y}, (0, T))} + \\ &+ \langle u_0, \mathcal{N}u_0 \rangle_{L_2(\Omega)} + \langle f, \mathcal{R}f \rangle_{L_2(\Omega, [0, T])} \leq \mu^2 + \gamma_\varepsilon \end{aligned}$$

Нетрудно проверить, что данное ограничение задает эллипсоид. Информационное множество в данном случае будет иметь вид

$$U[y, T] = \{u \mid \exists u_0, f : F(T) \leq \mu^2 + \gamma_\varepsilon\}$$

Будем искать центр эллипсоида, то есть функции f и u_0 , минимизирующие функционал $F(T)$

$$F = \langle \xi, \mathcal{M}\xi \rangle_Y + \langle u_0, \mathcal{N}u_0 \rangle_{L_2(\Omega)} + \langle f, \mathcal{R}f \rangle_{L_2(\Omega, [0, T])},$$

где операторы $\mathcal{M}(t)$, $\mathcal{N}(t)$, $\mathcal{R}(t)$ задаются при постановке задачи и являются самосопряженными.

Для вычисления минимизаторов продифференцируем $F(T)$ по u_0 и приравняем полученное к 0:

$$2 \int_0^T S^*(t)G^*(t)\mathcal{M}(t)G(t)S(t)dt u_0 - 2 \int_0^T S^*(t)G^*(t)\mathcal{M}(t)\left(y(t) - G(t) \int_0^t S(t-\tau)Bf(\tau)d\tau\right)dt + 2\mathcal{N}u_0 = 0$$

Обозначим минимизаторы функционала $F(T)$ за $f(\cdot, T)$ и $u_0(T)$. Обозначим порожденное ими решение системы (85) $u(t, T)$:

$$u(t, T) = S(t)u_0(T) + \int_0^t S(t-\tau)Bf(\tau, T)dt \quad (87)$$

Из последних двух уравнений получаем:

$$u_0(T) = \mathcal{N}^{-1} \int_0^T S^*(t)G^*(t)\mathcal{M}(t)(y(t) - G(t)u(t, T))dt \quad (88)$$

Продифференцируем теперь $F(T)$ по f . Для этого сначала преобразуем одно из слагаемых в функционале $F(T)$, сделав замену и переставив местами пределы интегрирования:

$$\begin{aligned} \int_0^T \langle G(t) \int_0^t S(t-\tau)Bf(\tau)d\tau, \mathcal{M}(t)G(t) \int_0^t S(t-\tau)Bf(\tau)d\tau \rangle_{L_2(\Omega)} dt &= \\ = \int_0^T \langle G(t) \int_0^t S(t-\gamma)Bf(\gamma)d\gamma, \mathcal{M}(t)G(t) \int_0^t S(t-\tau)Bf(\tau)d\tau \rangle_{L_2(\Omega)} dt &= \\ = \int_0^T \int_\gamma^T \langle G(t)S(t-\gamma)Bf(\gamma), \mathcal{M}(t) \int_0^t G(t)S(t-\tau)Bf(\tau)d\tau \rangle_{L_2(\Omega)} dt d\gamma &= \\ = \int_0^T \langle f(\gamma), \int_\gamma^T B^*(\gamma)S^*(t-\gamma)G^*(t)\mathcal{M}(t)G(t) \int_0^t S(t-\tau)Bf(\tau)d\tau \rangle dt > d\gamma \end{aligned}$$

Теперь мы можем вычислить производную от функционала $F(T)$ по f :

$$\begin{aligned} 2 \int_t^T B^*(t)S^*(\tau-t)G^*(\tau)\mathcal{M}(\tau)G(\tau) \int_0^\tau S(\tau-s)Bf(s, T)ds d\tau - \\ - 2 \int_t^T B^*(t)S^*(\tau-t)G^*(\tau)\mathcal{M}(\tau)(y(\tau) - G(\tau)S(\tau)u_0(T))dt + 2\mathcal{R}(t)f(t, T) = 0 \end{aligned}$$

Отсюда

$$f(t, T) = \mathcal{R}^{-1}(t) \int_t^T B^*(t) S^*(\tau - t) G^*(\tau) \mathcal{M}(\tau) (y(\tau) - G(\tau) u_0(\tau, T)) d\tau. \quad (89)$$

Продифференцировав формулы (88), (89), приходим к следующим формулам

$$\frac{\partial u_0(T)}{\partial T} = \mathcal{N}^{-1} S^*(T) \mathfrak{a}(T) - \mathcal{N}^{-1} \int_0^T S^*(t) G^*(t) \mathcal{M}(t) G(t) \frac{\partial u(t, T)}{\partial T} dt \quad (90)$$

$$\frac{\partial f(t, T)}{\partial T} = \mathcal{R}^{-1} B^*(t) S^*(T - t) \mathfrak{a}(T) - \mathcal{R}^{-1} \int_t^T B^*(t) S^*(\tau - T) G^*(\tau) \mathcal{M}(\tau) G(\tau) \frac{\partial u(\tau, T)}{\partial T} d\tau \quad (91)$$

где

$$\mathfrak{a}(T) = G^*(T) \mathcal{M}(T) (y(T) - G(T) u(T, T))$$

Следовательно, подставив эти выражения в (87), имеем:

$$\begin{aligned} \frac{\partial u(t, T)}{\partial T} &= \left(S(t) \mathcal{N}^{-1} S^*(T) + \int_0^t S(t - \tau) B(\tau) \mathcal{R}^{-1}(\tau) B^*(\tau) S^*(T - \tau) d\tau \right) \mathfrak{a}(T) - \\ &- S(t) \mathcal{N}^{-1} \int_0^T S^*(\tau) G^*(\tau) \mathcal{M}(\tau) G(\tau) \frac{\partial u(\tau, T)}{\partial T} - \\ &- \int_0^t S(t - \tau) B(\tau) \mathcal{R}^{-1}(\tau) \int_\tau^T B^*(s) S^*(s - \tau) G^*(s) \mathcal{M}(s) G(s) \frac{\partial u(s, T)}{\partial T} ds d\tau. \end{aligned} \quad (92)$$

Получили уравнение Фредгольма второго рода. Пусть оно разрешимо, тогда существует ядро $\widetilde{K}(t, s, T)$, не зависящее от наблюдений, такое что решение можно представить в виде:

$$\begin{aligned} \frac{\partial u(t, T)}{\partial T} &= \int_0^T \widetilde{K}(t, s, T) \left(S(s) \mathcal{N}^{-1} S^*(T) + \int_0^s S(s - \tau) B(\tau) \mathcal{R}^{-1}(\tau) B^*(\tau) S^*(T - \tau) d\tau \right) ds \mathfrak{a}(T) = \\ &= K(t, T) \mathfrak{a}(T) \end{aligned}$$

Здесь $K(t, T)$ — некоторый оператор. Нас интересует оценка центра информационного множества $U[T, y]$ и ее эволюция. Продифференцируем по T введенную ранее функцию $u(t, T)$ (87), взятую в точке $t = T$:

$$\begin{aligned} \frac{du(T, T)}{dT} &= Du(T, T) + B(T) f(T, T) + K(T, T) \mathfrak{a}(T) = \\ &= \{ \text{используя (89) и положив } P(T) = K(T, T) \} = \\ &= Du(T, T) + 0 + P(T) G^*(T) \mathcal{M}(T) (y(T) - G(T) u(T, T)) \end{aligned} \quad (93)$$

По определению оператора $K(t, T)$ он дает решение уравнения Фредгольма (92) для любого $\mathfrak{a}(T)$. Значит, если в (92) вместо $\frac{\partial u(t, T)}{\partial T}$ подставить $K(t, T)\mathfrak{a}(T)$, получим:

$$\begin{aligned} P(T)\mathfrak{a}(T) &= K(T, T)\mathfrak{a}(T) = \left\{ S(T)\mathcal{N}^{-1}S^*(T) + \int_0^T S(T-\tau)B(\tau)\mathcal{R}^{-1}(\tau)B^*(\tau)S^*(T-\tau)d\tau - \right. \\ &\quad - S(T)\mathcal{N}^{-1} \int_0^T S^*(t)G^*(t)\mathcal{M}(t)G(t)K(t, T)dt - \\ &\quad \left. - \int_0^T S(T-\tau)B(\tau)\mathcal{R}^{-1}(\tau) \int_\tau^T B^*(s)S^*(s-\tau)G^*(s)\mathcal{M}(s)G(s)K(s, T)ds d\tau \right\} \mathfrak{a}(T). \end{aligned} \quad (94)$$

В силу произвольности $\mathfrak{a}(T)$ его можно сократить, и тогда получим выражение для $P(T)$

$$\begin{aligned} P(T) &= K(T, T) = S(T)\mathcal{N}^{-1}S^*(T) + \int_0^T S(T-\tau)B(\tau)\mathcal{R}^{-1}(\tau)B^*(\tau)S^*(T-\tau)d\tau - \\ &\quad - S(T)\mathcal{N}^{-1} \int_0^T S^*(t)G^*(t)\mathcal{M}(t)G(t)K(t, T)dt - \\ &\quad - \int_0^T S(T-\tau)B(\tau)\mathcal{R}^{-1}(\tau) \int_\tau^T B^*(s)S^*(s-\tau)G^*(s)\mathcal{M}(s)G(s)K(s, T)ds d\tau \end{aligned} \quad (95)$$

Аналогично, подставив в (91)-(90) вместо $\frac{\partial u(t, T)}{\partial T}$ выражение $K(t, T)\mathfrak{a}(T)$, имеем:

$$\begin{aligned} \frac{\partial f(t, T)}{\partial T} &= \left(R^{-1}(t)B^*(t)S^*(T-t) - R^{-1}(t) \int_t^T B^*(t)S^*(t-\tau)G^*(\tau)M(\tau)G(\tau)K(\tau, T)d\tau \right) \mathfrak{a}(t) \\ \frac{\partial u_0(T)}{\partial T} &= \left(\mathcal{N}^{-1}S^*(T) - \mathcal{N}^{-1} \int_0^T S^*(t)G^*(t)\mathcal{M}(t)G(t)K(t, T)dt \right) \mathfrak{a}(T) \end{aligned} \quad (96)$$

Итак, нам удалось выразить динамику центра информационного множества с помощью уравнения (93). Если вычислить производную оператора $P(T)$, можно будет эффективно оценивать изменение $u(T, T)$. Однако если дифференцировать выражение (95), появятся производные ядра уравнения Фредгольма — $\frac{\partial K(t, T)}{\partial T}$. Исследуем, чему равна эта функция.

Подставим в (92) вместо $\frac{\partial u(t, T)}{\partial T}$ произвольную функцию $g(t, T)$. В силу свойств уравнения Фредгольма получим

$$g(t, T) = K(t, T)\mathfrak{a}(T)$$

Заменим $\mathfrak{a}(T)$ на произвольное γ . В силу линейности уравнения Фредгольма

$$g(t, T) = K(t, T)\gamma \quad (97)$$

Продифференцируем полученное уравнение по T :

$$\frac{\partial g(t, T)}{\partial T} = \frac{\partial K(t, T)}{\partial T}\gamma \quad (98)$$

Но $g(t, T)$ удовлетворяет уравнению

$$\begin{aligned}
g(t, T) &= \left(S(t) \mathcal{N}^{-1} S^*(T) + \int_0^t S(t-\tau) B(\tau) \mathcal{R}^{-1}(\tau) B^*(\tau) S^*(T-\tau) d\tau \right) \gamma - \\
&\quad - S(t) \mathcal{N}^{-1} \int_0^T S^*(\tau) G^*(\tau) \mathcal{M}(\tau) G(\tau) g(\tau, T) - \\
&\quad - \int_0^t S(t-\tau) B(\tau) \mathcal{R}^{-1}(\tau) \int_\tau^T B^*(s) S^*(s-\tau) G^*(s) \mathcal{M}(s) G(s) g(s, T) ds d\tau.
\end{aligned} \tag{99}$$

Продифференцируем это уравнение по T . Получится уравнение Фредгольма на функцию $\frac{\partial g(T, T)}{\partial T}$:

$$\begin{aligned}
\frac{\partial g(t, T)}{\partial T} &= \left(S(t) \mathcal{N}^{-1} S^*(T) + \int_0^t S(t-\tau) B(\tau) \mathcal{R}^{-1}(\tau) B^*(\tau) S^*(T-\tau) d\tau \right) D^* \gamma - \\
&\quad - S(t) \mathcal{N}^{-1} S^*(T) G^*(T) \mathcal{M}(T) G(T) g(T, T) - \\
&\quad - S(t) \mathcal{N}^{-1} \int_0^T S^*(\tau) G^*(\tau) \mathcal{M}(\tau) G(\tau) \frac{\partial g(\tau, T)}{\partial T} - \\
&\quad - \int_0^t S(t-\tau) B(\tau) \mathcal{R}^{-1}(\tau) \int_\tau^T B^*(T) S^*(T-\tau) G^*(T) \mathcal{M}(T) G(T) g(T, T) d\tau - \\
&\quad - \int_0^t S(t-\tau) B(\tau) \mathcal{R}^{-1}(\tau) \int_\tau^T B^*(s) S^*(s-\tau) G^*(s) \mathcal{M}(s) G(s) \frac{\partial g(s, T)}{\partial T} ds d\tau.
\end{aligned} \tag{100}$$

Преобразуем это уравнение, используя (97) и группируя вместе вторую и четвертую строки:

$$\begin{aligned}
\frac{\partial g(t, T)}{\partial T} &= \left(S(t) \mathcal{N}^{-1} S^*(T) + \int_0^t S(t-\tau) B(\tau) \mathcal{R}^{-1}(\tau) B^*(\tau) S^*(T-\tau) d\tau \right) D^* \gamma - \\
&\quad - S(t) \mathcal{N}^{-1} S^*(T) G^*(T) \mathcal{M}(T) G(T) P(T) \gamma - \\
&\quad - \int_0^t S(t-\tau) B(\tau) \mathcal{R}^{-1}(\tau) \int_\tau^T B^*(T) S^*(T-\tau) d\tau G^*(T) \mathcal{M}(T) G(T) P(T) \gamma - \\
&\quad - S(t) \mathcal{N}^{-1} \int_0^T S^*(\tau) G^*(\tau) \mathcal{M}(\tau) G(\tau) \frac{\partial g(\tau, T)}{\partial T} - \\
&\quad - \int_0^t S(t-\tau) B(\tau) \mathcal{R}^{-1}(\tau) \int_\tau^T B^*(s) S^*(s-\tau) G^*(s) \mathcal{M}(s) G(s) \frac{\partial g(s, T)}{\partial T} ds d\tau.
\end{aligned} \tag{101}$$

Сгруппировав первую, вторую и третью строки (101), получим:

$$\begin{aligned}
\frac{\partial g(t, T)}{\partial T} &= \left(S(t) \mathcal{N}^{-1} S^*(T) + \int_0^t S(t-\tau) B(\tau) \mathcal{R}^{-1}(\tau) B^*(\tau) S^*(T-\tau) d\tau \right) (D^* - G^*(T) \mathcal{M}(T) G(T) P(T)) \gamma - \\
&\quad - S(t) \mathcal{N}^{-1} \int_0^T S^*(\tau) G^*(\tau) \mathcal{M}(\tau) G(\tau) \frac{\partial g(\tau, T)}{\partial T} - \\
&\quad - \int_0^t S(t-\tau) B(\tau) \mathcal{R}^{-1}(\tau) \int_\tau^T B^*(s) S^*(s-\tau) G^*(s) \mathcal{M}(s) G(s) \frac{\partial g(s, T)}{\partial T} ds d\tau.
\end{aligned} \tag{102}$$

Итак, получилось то же самое уравнение Фредгольма, что и (99), где вместо $g(t, T)$ стоит $\frac{\partial g(t, T)}{\partial T}$, а вместо $\gamma = (D^* - G^*(T)\mathcal{M}(T)G(T)P(T))\gamma$. Учитывая (98), получаем:

$$\frac{\partial g(t, T)}{\partial T} = \frac{\partial K(t, T)}{\partial T} \gamma = K(t, T)(D^* - G^*(T)\mathcal{M}(T)G(T)P(T))\gamma$$

В силу произвольности γ

$$\frac{\partial K(t, T)}{\partial T} = K(t, T)(D^* - G^*(T)\mathcal{M}(T)G(T)P(T))$$

Теперь можно продифференцировать уравнение (95) по T . Прделав это, легко получить уравнение Рикатти на оператор $P(T)$:

$$\dot{P}(T) = DP(T) + R^{-1}(T) + P(T)D - P(T)G^*(T)\mathcal{M}(T)G(T)P(T)$$

Используя (99), можно выписать начальное условие для $P(T)$

$$P(0) = \mathcal{N}^{-1}$$

Итак, уравнения (90)-(91) задают эволюцию оптимальных оценок $f(t, T)$ и $u_0(T)$ с помощью оператора $K(t, T)$. Эволюция $u(T, T)$ (элемента, порожденного минимизаторами) описывается уравнением (93). В него входит оператор $P(T)$, удовлетворяющий уравнению Рикатти. Сведем воедино все полученное:

$$\begin{aligned} \frac{\partial f(t, T)}{\partial T} &= \left(R^{-1}(t)B^*(t)S^*(T-t) - R^{-1}(t) \int_t^T B^*(t)S^*(t-\tau)G^*(\tau)\mathcal{M}(\tau)G(\tau)K(\tau, T)d\tau \right) \times \\ &\quad \times G^*(T)\mathcal{M}(T)(y(T) - G(T)u(T, T)) \\ \frac{\partial u_0(T)}{\partial T} &= \left(\mathcal{N}^{-1}S^*(T) - \mathcal{N}^{-1} \int_0^T S^*(t)G^*(t)\mathcal{M}(t)G(t)K(t, T)dt \right) G^*(T)\mathcal{M}(T)(y(T) - G(T)u(T, T)) \\ \frac{du(T, T)}{dT} &= Du(T, T) + P(T)G^*(T)\mathcal{M}(T)(y(T) - G(T)u(T, T)) \\ \frac{\partial K(t, T)}{\partial T} &= K(t, T)(D^* - G^*(T)\mathcal{M}(T)G(T)P(T)) \\ \dot{P}(T) &= DP(T) + R^{-1}(T) + P(T)D - P(T)G^*(T)\mathcal{M}(T)G(T)P(T) \\ f(T, T) &= 0 \quad \forall T \\ u_0(0) &= 0 \\ K(T, T) &= P(T) \quad \forall T \\ P(0) &= \mathcal{N}^{-1} \end{aligned} \tag{103}$$

Таким образом, если, например, вычислено значение функции $J(t, T_1)$ на промежутке $t \in [0, T_1]$ и поступили новые наблюдения, можно, используя уравнения (103), рассчитать $f(\cdot, T_1 + \Delta T)$, не минимизируя заново функционал $F(T)$ на новом промежутке времени, а используя производную $\frac{\partial f(t, T)}{\partial T}$.

8.2.2 Задачи управления и фильтрации в бесконечномерных пространствах

Рассмотрим следующую задачу

$$\begin{cases} x' = Ax(t) + Bu(t) \\ x(0) = x_0 \in H - \text{гильбертово} \end{cases} \quad (104)$$

и функционал

$$J(u(\cdot)) = \int_0^T |cx(\tau)|^2 + |u(\tau)|^2 d\tau + \langle P_0 x(T), x(T) \rangle \rightarrow \inf \quad (105)$$

Здесь оператор $A : D(A) \subset H \rightarrow H$ порождает сильно непрерывную полугруппу e^{tA} на H . Т.е.

$$\lim_{t \rightarrow 0+} \frac{e^{tA} - I}{t} = A \quad (106)$$

$B \in \mathcal{L}(U, H)$, $P_0 \in \mathcal{L}(H)$, эрмитов, неотрицательный; $C \in \mathcal{L}(H, Y)$, Y, U, H - гильбертовы.

Получаем

$$x(t) = e^{At} x_0 + \int_{t_0}^t e^{(t-\tau)A} Bu(\tau) d\tau \quad (107)$$

вместо e^{At} будем писать $S(t)$.

Пример: уравнение теплопроводности.

$$S(t)u_0 = \sum e^{-\lambda_i t} u_o^i \varphi_i(\cdot), \quad u_0 - \text{начальное условие} \quad (108)$$

Можно доказать, что $S(t)$ сильно непрерывна по t и $S(\tau_1)S(\tau_2)u_0 = S(\tau_1 + \tau_2)u_0$, то есть выполнено полугрупповое свойство.

При указанных условиях на операторы A, B, P_0, C рассмотрим $P(t)$ - решение уравнения Рикатти

$$\begin{cases} \dot{P}(t) = A^*P + PA - PBB^*P + C^*C \\ P(0) = P_0 \end{cases} \quad (109)$$

Под решением этого операторного уравнения мы подразумеваем так называемое “mild solution”, то есть решение эквивалентного ему интегрального уравнения

$$P(t)x = e^{tA^*} P(t)e^{tA} x + \int_0^t e^{\tau A^*} C^* C e^{\tau A} x d\tau - \int_0^t e^{(t-\tau)A^*} P(\tau) B B^* P(\tau) e^{(t-\tau)A} x d\tau \quad (110)$$

Теорема 8.5. При заданных ограничениях на A , B и C существует "mild solution" $P(t) \in C_S(I, \Sigma^+(H))$. Здесь $I = [0, T]$, $\Sigma^+(H)$ - пространство неотрицательных, самосопряженных (т.е. эрмитовых) операторов в H . Непрерывность в $C_S : P(\cdot)x$ непрерывна по $t \forall x$. Идея доказательства: воспользоваться методом сжимающих отображений

Теорема 8.6. Кроме того, с помощью $P(t)$ можно представить оптимальное управление $u^* = -B^*P(T-t)x^*(t)$. Оно будет единственным и, кроме того, $J(u^*) = \langle P(T)x_0, x_0 \rangle$. Здесь $x^*(t)$ есть решение следующего уравнения:

$$\begin{cases} x'(t) = [A - BB^*P(T-t)]x(t), & t \in [0, T], \\ x(0) = x_0 \end{cases}$$

Идея доказательства: если $P(T)$ — решение уравнения Рикатти, можно показать, что

$$J(u) = \int_0^T |u(s) + B^*P(T-s)x(s)|^2 ds + \langle P(T)x_0, x_0 \rangle.$$

9 Прикладные задачи защиты окружающей среды

$$\begin{cases} \frac{\partial \varphi}{\partial t} + \operatorname{div}(\vec{v}\varphi) + \sigma\varphi = \sum_{i=1}^3 \frac{\partial}{\partial x_i} \left(K_i - \frac{\partial \varphi}{\partial x_i} \right) + f & \text{в } Q \\ \varphi \Big|_{t=0} = 0 \\ \varphi \Big|_{\Sigma} = 0 \\ \frac{\partial \varphi}{\partial x_3} = \alpha\varphi \text{ на } \Sigma_0 \\ \frac{\partial \varphi}{\partial x_3} = 0 \text{ на } \Sigma_H \end{cases} \quad (111)$$

У этой задачи существует единственное решение ([4]).

Упражнение 19. Записать сопряженную задачу.

В этой части мы будем рассматривать функционалы вида

$$J = \langle p, \varphi \rangle_{L_2(Q)} = \langle f, \varphi^* \rangle_{L_2(Q)} \quad (112)$$

где $Q = G \times [0, T]$, $G = \Omega \times (0, H)$, а функция p характеризует "значимость" загрязнения в области Σ_0 , а также в некоторых экологически значимых зонах Ω_k (и соответствующих им G_k).

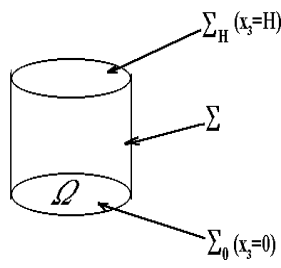


Рис. 3: Множество Q

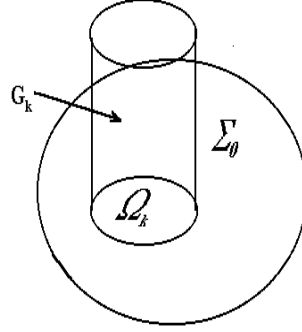


Рис. 4: Почва и атмосфера

Здесь Ω_k — область $\Omega_k \subset \Sigma_0$; G_k — прямая призма с основанием Ω_k высотой H .

Пример 1. Рассмотрим функционалы J_0, J_1, \dots, J_m следующего вида. Эффект от суммарного загрязнения области Q представляется с помощью функционала J_0 :

$$J_0 = \langle \varphi, p_0 \rangle — \text{загрязнение во всей } \sigma_0 \text{ и } G,$$

где функционал $p_0 = B(x, y) + \delta(x_3)A(x, y)$. Здесь функция $B(x, y)$ характеризует отрицательный эффект от загрязнения атмосферы над областью Ω_k , а функция $A(x, y)$ характеризует эффект от загрязнения почвы и вод области Ω_k . Пусть также функционалы J_1, \dots, J_m характеризуют загрязнение в областях G_k, Ω_k :

$$J_k = \langle \varphi, p_k \rangle — \text{загрязнение в } \Omega_k, G_k.$$

Где функционалы p_k имеют вид

$$p_k = \begin{cases} b_k + a_k \delta(x_3), & (x_1, x_2, x_3) \in G_k \\ 0, & (x_1, x_2, x_3) \notin G_k \end{cases} \quad (113)$$

Как было отмечено выше, функции $A(x, y)$ и $a_k(x, y)$ характеризуют отрицательный эффект от загрязнения точки (x, y) поверхности земли, а $B(x, y, z)$ и $b_k(x, y, z)$ — от загрязнения точки (x, y, z) области Q .

Мы хотим, чтобы были выполнены неравенства:

$$J_0 \leq C_0, \quad J_k \leq C_k, \quad k = 1, \dots, m$$

Для оценки этих функционалов составим $m + 1$ сопряженное уравнение с правыми частями $p_i, i = 0, \dots, m$. Тогда

$$J_i = \langle p_i, \varphi \rangle = \langle f, \varphi_i^* \rangle \leq C_i \quad (114)$$

Пусть теперь требуется решить задачу об оптимальном размещении промышленного предприятия. Если расположить его в точке x^0 , правая часть уравнения (111) будет иметь вид $f = \delta(\vec{x} - \vec{x}_0)Q$. Пусть нам известно, что интенсивность выбросов будет постоянной: $Q \equiv \text{const}$. Тогда

$$J_i = J_i(\vec{x}_0) = \langle f, \varphi_i^* \rangle = Q\varphi_i^*(\vec{x}_0) \leq C_i$$

Построим линии уровня функций φ^* . Тогда допустимые x_0 будут расположены вне областей $\varphi_i^*(\vec{x}_0) = C_i/Q$.

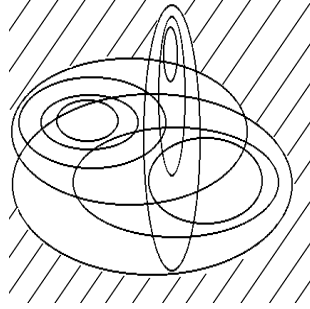


Рис. 5: Линии уровня

Если обозначить

$$\omega_i = \left\{ \vec{x}_0 \left| \varphi_i(\vec{x}_0) \leq \frac{C_i}{Q} \right. \right\}, \quad (115)$$

то допустимые решения задачи будут задаваться следующим соотношением:

$$\vec{x}_0 \in \bigcap_{i=0}^m \omega_i \quad (\text{заштрихованная область на рисунке}) \quad (116)$$

Пример 2. Пусть в данном районе возможно всего j_0 различных стандартных метеорологических ситуаций: характерные сила и направления ветра и т.п.. В этом случае для решения задачи

оптимального расположения промышленного предприятия нужно решить $(m+1)j_0$ сопряженных уравнений (с различными правыми частями, соответствующими функционалам p_k , и различными параметрами, соответствующими метеорологическим условиям). Искомое множество будет являться пересечением полученных областей ω_i $i = 1 \dots (m+1)j_0$.

Пример 3. Задача минимизации стоимости потерь продуктов биосферы (= затрат на их восстановление). Пусть рассматриваются n различных аэрозолей. Рассмотрим функционал вида

$$J = \sum_{j=1}^n \int_0^T dt \int_{\Sigma_0} \sum_{l=1}^s n_l \cdot \beta_l \cdot b_{jl} \cdot \varphi_j d\Sigma = \sum_j \langle p_0^j, \varphi_j \rangle \leq \text{const} \quad (117)$$

здесь

- j - номер аэрозоли;
- l - номер компонента биосферы;
- n_l - плотность популяции l -го компонента биосферы в данной точке;
- β_l - цена (стоимость восстановления) единицы l -го компонента биосферы;
- b_{jl} - количество "умирающих" единиц биомассы l -го типа в расчете на одну единицу j -й аэрозоли;
- φ - концентрация j -й аэрозоли.

Для вычисления этого функционала необходимо решить n сопряженных задач (по одному на каждый тип аэрозоли).

Однако известно, что, если все аэрозоли легкие и являются окислами различных соединений, то они распространяются по одному закону. Пусть Q_j - интенсивность j -й аэрозоли. Введем коэффициент

$$\gamma_j = \frac{Q_j}{\sum_{i=1}^n Q_i} \quad (118)$$

Тогда, если решать задачу с правой частью $Q = \sum_{i=1}^n Q_i$, все функции φ_j будут пропорционально этому решению: $\varphi_j = \gamma_j \varphi$, то есть достаточно решить только одну сопряженную задачу и

$$J = \langle \varphi, \sum_{i=1}^n p_0^i \gamma_i \rangle = \langle \varphi^*, f \rangle \quad (119)$$

После данного преобразования функционала J можно решать задачу об оптимальном размещении предприятий, аналогично предыдущему примеру.

Пример 4. Оптимизация выбросов уже работающих заводов: пусть в точках \vec{r}_i расположены заводы, которые выбрасывают загрязнения в атмосферу с интенсивностью Q_i . Составим функционал модернизации:

$$J = \sum \xi_i(Q_i - \bar{Q}_i) \quad (120)$$

Здесь ξ_i - стоимость модернизации i -го предприятия на единицу уменьшения выбросов. В результате приходим к задаче линейного программирования:

$$\begin{cases} \sum \tilde{Q}_i \xi_i \rightarrow \min \\ \sum a_{ik} \tilde{Q}_i \geq R_k & \text{соблюдение ПДК} \\ \tilde{Q}_i \geq 0 \end{cases} \quad (121)$$

где $\tilde{Q}_i = Q_i - \bar{Q}_i$.

Список литературы

- [1] Владимиров В.С. *Уравнения математической физики.*
- [2] Денисов А.М. *Введение в теорию обратных задач.*
- [3] Ладыженская Солонников Уральцева *Линейные и квазилинейные уравнения параболического типа.*
- [4] Марчук Г.И. *Математическое моделирование в проблеме окружающей среды.*
- [5] Тихонов Арсенин *Методы решения некорректных задач.*
- [6] Шварц Л. *Математические методы для физических наук.*